

ANÁLISIS Y PREDICCIÓN DE SERIES TEMPORALES

3/4/2021

1. Introducción: Presentación de la serie a analizar.

```
# 1)
METRO <- read_excel("Metro.xlsx")
```

```
## New names:
## * `` -> ...1
```

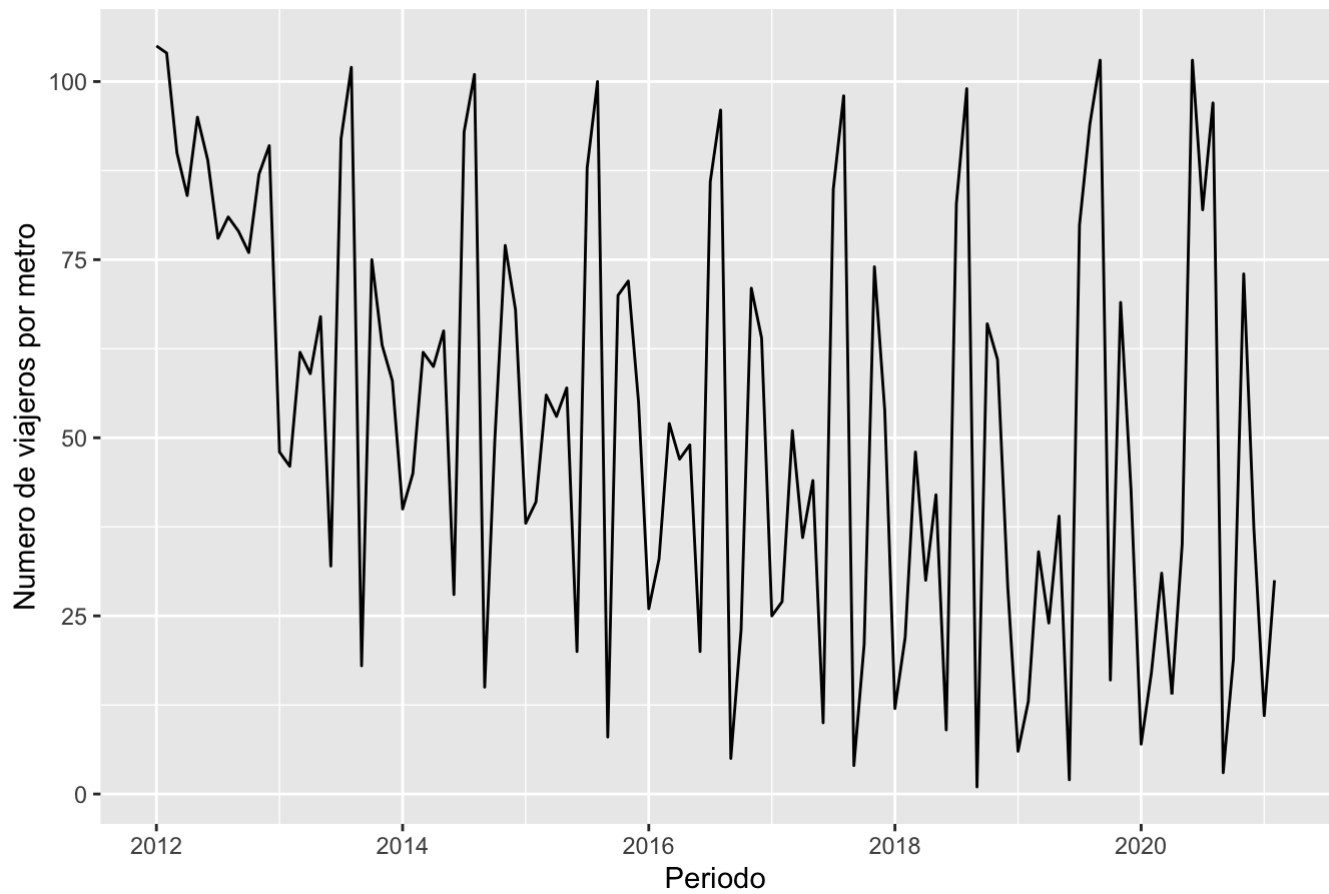
```
metro<-ts(METRO[,-1],start = c(2012,1),frequency = 12)
```

Los datos de la serie a analizar se organizan mensualmente. El número de valores es 108. He descargado los datos de 'transporte urbano en metro' de Sevilla, de 2012 a 2020, en la página web del INE (Instituto Nacional de Estadística).

2. Representación gráfica y descomposición estacional (si tuviera comportamiento estacional).

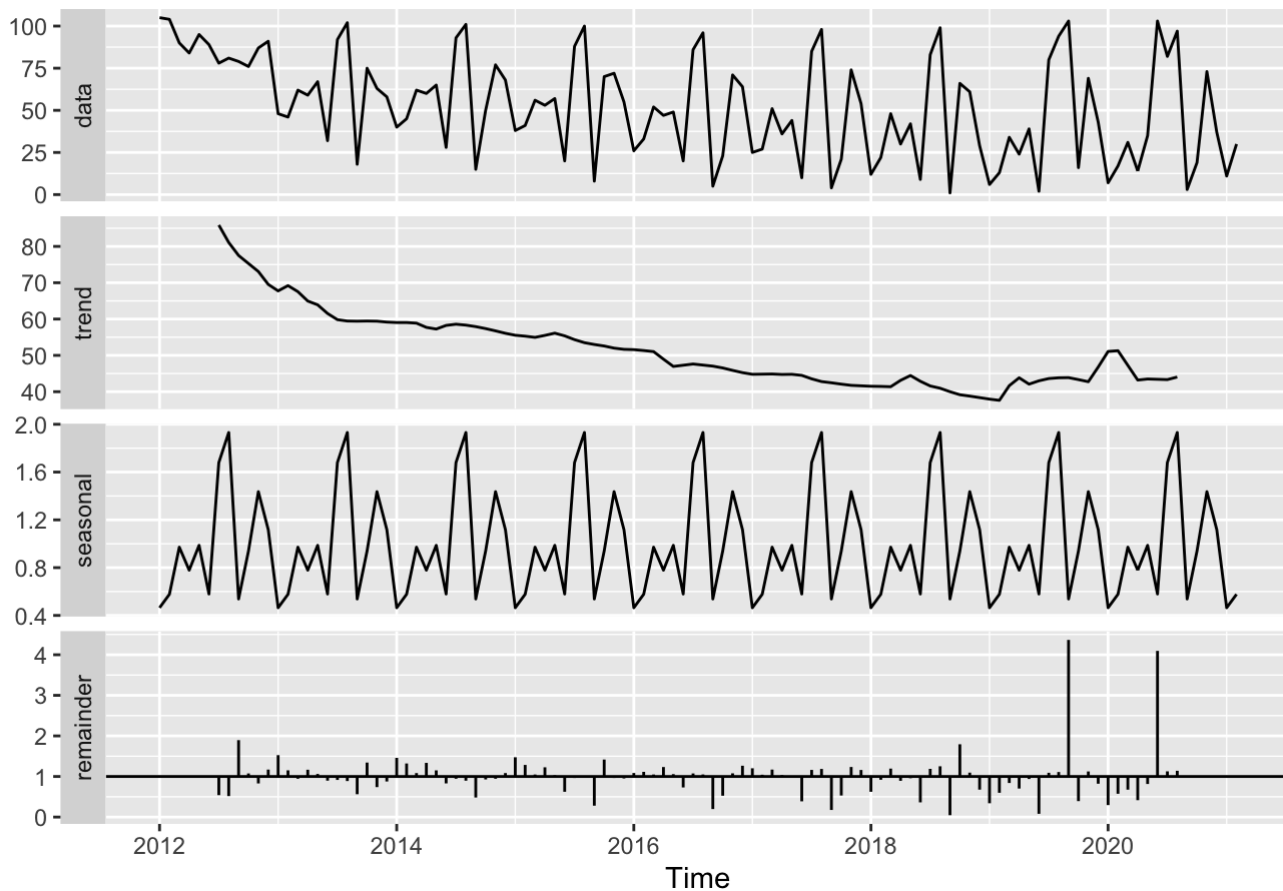
```
# 2.1)
autoplot(metro)+ ggtitle("Numero de viajeros mensuales por metro Sevilla") + xlab("Pe-
riodo") + ylab("Numero de viajeros por metro")
```

Numero de viajeros mensuales por metro Sevilla



```
# 2.2)
metro_Comp<- decompose(metro,type=c("multiplicative"))
autoplot(metro_Comp,ts.colour = "blue")
```

Decomposition of multiplicative time series



2.3)

```
knitr::kable(metro_Comp$figure, digits =2,caption = "Coef Estacionalidad")
```

Coef Estacionalidad

	x
	0.46
	0.58
	0.97
	0.78
	0.99
	0.58
	1.68
	1.93
	0.54
	0.94
	1.44
	1.12

```
# 2.4)
print(metro_Comp)
```

\$x

##		Jan	Feb	Mar	Apr	May	Jun	Jul	Aug	Sep	Oct	Nov	Dec
##	2012	105	104	90	84	95	89	78	81	79	76	87	91
##	2013	48	46	62	59	67	32	92	102	18	75	63	58
##	2014	40	45	62	60	65	28	93	101	15	50	77	68
##	2015	38	41	56	53	57	20	88	100	8	70	72	55
##	2016	26	33	52	47	49	20	86	96	5	23	71	64
##	2017	25	27	51	36	44	10	85	98	4	21	74	54
##	2018	12	22	48	30	42	9	83	99	1	66	61	29
##	2019	6	13	34	24	39	2	80	94	103	16	69	43
##	2020	7	17	31	14	35	103	82	97	3	19	73	37
##	2021	11	30										

##

\$seasonal

##		Jan	Feb	Mar	Apr	May	Jun	Jul
##	2012	0.4641746	0.5771365	0.9713493	0.7786578	0.9867842	0.5792841	1.6800103
##	2013	0.4641746	0.5771365	0.9713493	0.7786578	0.9867842	0.5792841	1.6800103
##	2014	0.4641746	0.5771365	0.9713493	0.7786578	0.9867842	0.5792841	1.6800103
##	2015	0.4641746	0.5771365	0.9713493	0.7786578	0.9867842	0.5792841	1.6800103
##	2016	0.4641746	0.5771365	0.9713493	0.7786578	0.9867842	0.5792841	1.6800103
##	2017	0.4641746	0.5771365	0.9713493	0.7786578	0.9867842	0.5792841	1.6800103
##	2018	0.4641746	0.5771365	0.9713493	0.7786578	0.9867842	0.5792841	1.6800103
##	2019	0.4641746	0.5771365	0.9713493	0.7786578	0.9867842	0.5792841	1.6800103
##	2020	0.4641746	0.5771365	0.9713493	0.7786578	0.9867842	0.5792841	1.6800103
##	2021	0.4641746	0.5771365					

##		Aug	Sep	Oct	Nov	Dec
##	2012	1.9313909	0.5377033	0.9393202	1.4361253	1.1180637
##	2013	1.9313909	0.5377033	0.9393202	1.4361253	1.1180637
##	2014	1.9313909	0.5377033	0.9393202	1.4361253	1.1180637
##	2015	1.9313909	0.5377033	0.9393202	1.4361253	1.1180637
##	2016	1.9313909	0.5377033	0.9393202	1.4361253	1.1180637
##	2017	1.9313909	0.5377033	0.9393202	1.4361253	1.1180637
##	2018	1.9313909	0.5377033	0.9393202	1.4361253	1.1180637
##	2019	1.9313909	0.5377033	0.9393202	1.4361253	1.1180637
##	2020	1.9313909	0.5377033	0.9393202	1.4361253	1.1180637
##	2021					

##

\$trend

##		Jan	Feb	Mar	Apr	May	Jun	Jul	Aug
##	2012	NA	NA	NA	NA	NA	NA	85.87500	81.08333
##	2013	67.75000	69.20833	67.54167	64.95833	63.91667	61.54167	59.83333	59.45833
##	2014	59.04167	59.04167	58.87500	57.70833	57.25000	58.25000	58.58333	58.33333
##	2015	55.54167	55.29167	54.95833	55.50000	56.12500	55.37500	54.33333	53.50000
##	2016	51.58333	51.33333	51.04167	48.95833	46.95833	47.29167	47.62500	47.33333
##	2017	44.79167	44.83333	44.87500	44.75000	44.79167	44.50000	43.54167	42.79167
##	2018	41.50000	41.45833	41.37500	43.12500	44.45833	42.87500	41.58333	40.95833
##	2019	37.95833	37.62500	41.66667	43.83333	42.08333	43.00000	43.62500	43.83333
##	2020	51.08333	51.29167	47.25000	43.20833	43.50000	43.41667	43.33333	44.04167
##	2021	NA	NA						

##		Sep	Oct	Nov	Dec
##	2012	77.50000	75.29167	73.08333	69.54167
##	2013	59.41667	59.45833	59.41667	59.16667
##	2014	57.91667	57.37500	56.75000	56.08333
##	2015	53.00000	52.58333	52.00000	51.66667
##	2016	47.04167	46.54167	45.87500	45.25000
##	2017	42.45833	42.08333	41.75000	41.62500
##	2018	40.00000	39.16667	38.79167	38.37500

```

## 2019 43.87500 43.33333 42.75000 46.79167
## 2020      NA      NA      NA      NA
## 2021
##
## $random
##      Jan      Feb      Mar      Apr      May      Jun
## 2012      NA      NA      NA      NA      NA      NA
## 2013 1.52633754 1.15165112 0.94502759 1.16646172 1.06227880 0.89761302
## 2014 1.45955354 1.32061249 1.08413993 1.33526072 1.15057702 0.82979444
## 2015 1.47395198 1.28483001 1.04900859 1.22641158 1.02919183 0.62348308
## 2016 1.08588189 1.11387375 1.04882509 1.23289073 1.05745339 0.73005200
## 2017 1.20243451 1.04348024 1.17001192 1.03314866 0.99548170 0.38792557
## 2018 0.62294800 0.91945893 1.19433952 0.89339908 0.95735705 0.36236546
## 2019 0.34053579 0.59867116 0.84006856 0.70316962 0.93914425 0.08029157
## 2020 0.29521435 0.57427989 0.67543639 0.41611548 0.81537354 4.09533247
## 2021      NA      NA
##      Jul      Aug      Sep      Oct      Nov      Dec
## 2012 0.54064963 0.51722945 1.89575721 1.07461527 0.82891227 1.17038774
## 2013 0.91523515 0.88821328 0.56340611 1.34287275 0.73831201 0.87676732
## 2014 0.94492411 0.89646719 0.48166493 0.92775570 0.94478399 1.08444757
## 2015 0.96406071 0.96777865 0.28071877 1.41721668 0.96413271 0.95210690
## 2016 1.07485906 1.05010799 0.19767176 0.52610476 1.07768028 1.26501261
## 2017 1.16198879 1.18575972 0.17520818 0.53124578 1.23419251 1.16030718
## 2018 1.18808319 1.25147662 0.04649405 1.79396370 1.09496203 0.67590098
## 2019 1.09154742 1.11033282 4.36593659 0.39308296 1.12388180 0.82192730
## 2020 1.12636673 1.14034906      NA      NA      NA      NA
## 2021
##
## $figure
## [1] 0.4641746 0.5771365 0.9713493 0.7786578 0.9867842 0.5792841 1.6800103
## [8] 1.9313909 0.5377033 0.9393202 1.4361253 1.1180637
##
## $type
## [1] "multiplicative"
##
## attr(,"class")
## [1] "decomposed.ts"

```

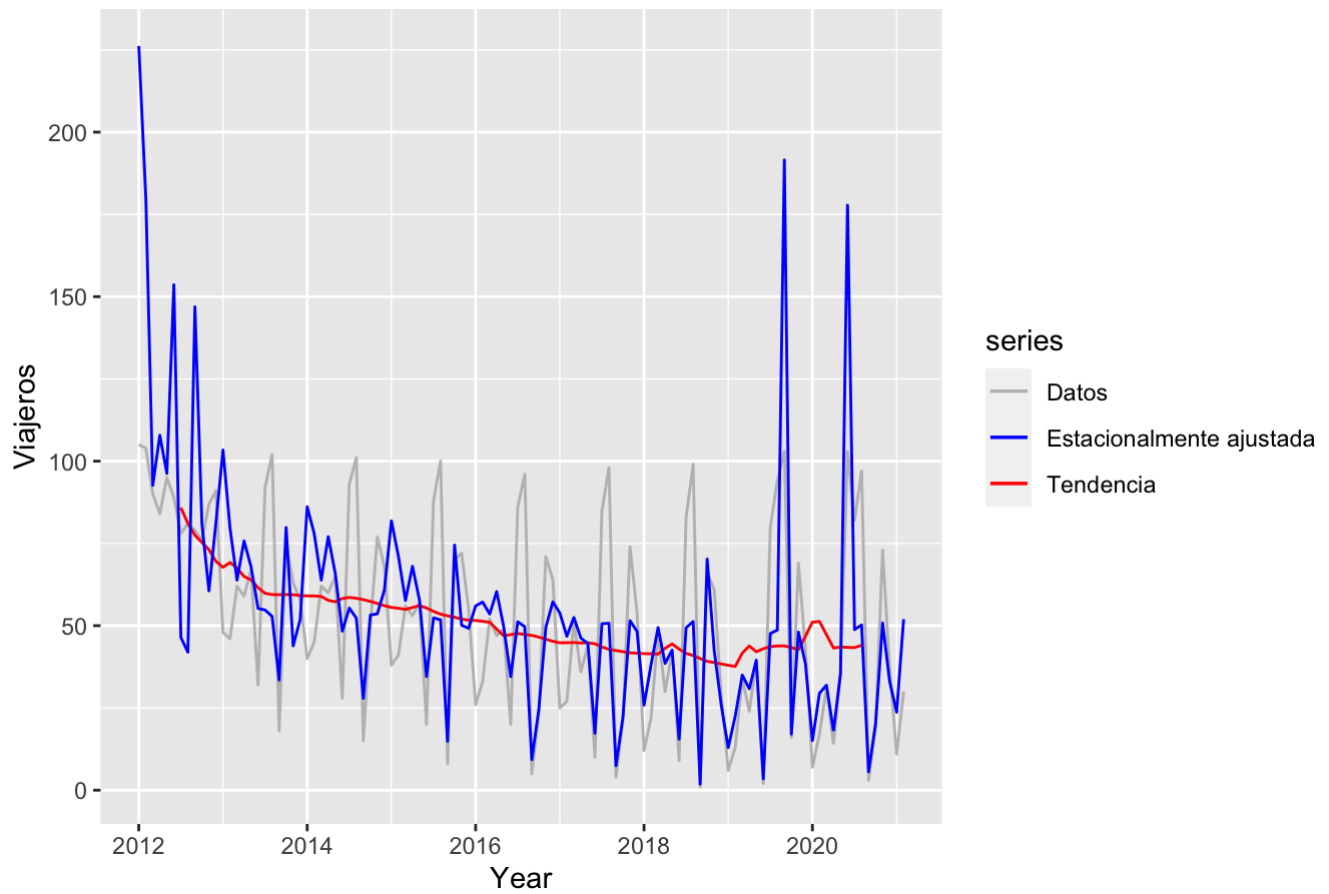
```

# 2.5)
autoplot(metro, series="Datos") +
  autolayer(trendcycle(metro_Comp), series="Tendencia")+ autolayer(seasadj(metro_Comp),
  series="Estacionalmente ajustada")+ xlab("Year") + ylab("Viajeros") +
  ggtitle("Serie de vuelos") + scale_colour_manual(values=c("gray","blue","red"), break
s=c("Datos","Estacionalmente ajustada","Tendencia"))

```

```
## Warning: Removed 12 row(s) containing missing values (geom_path).
```

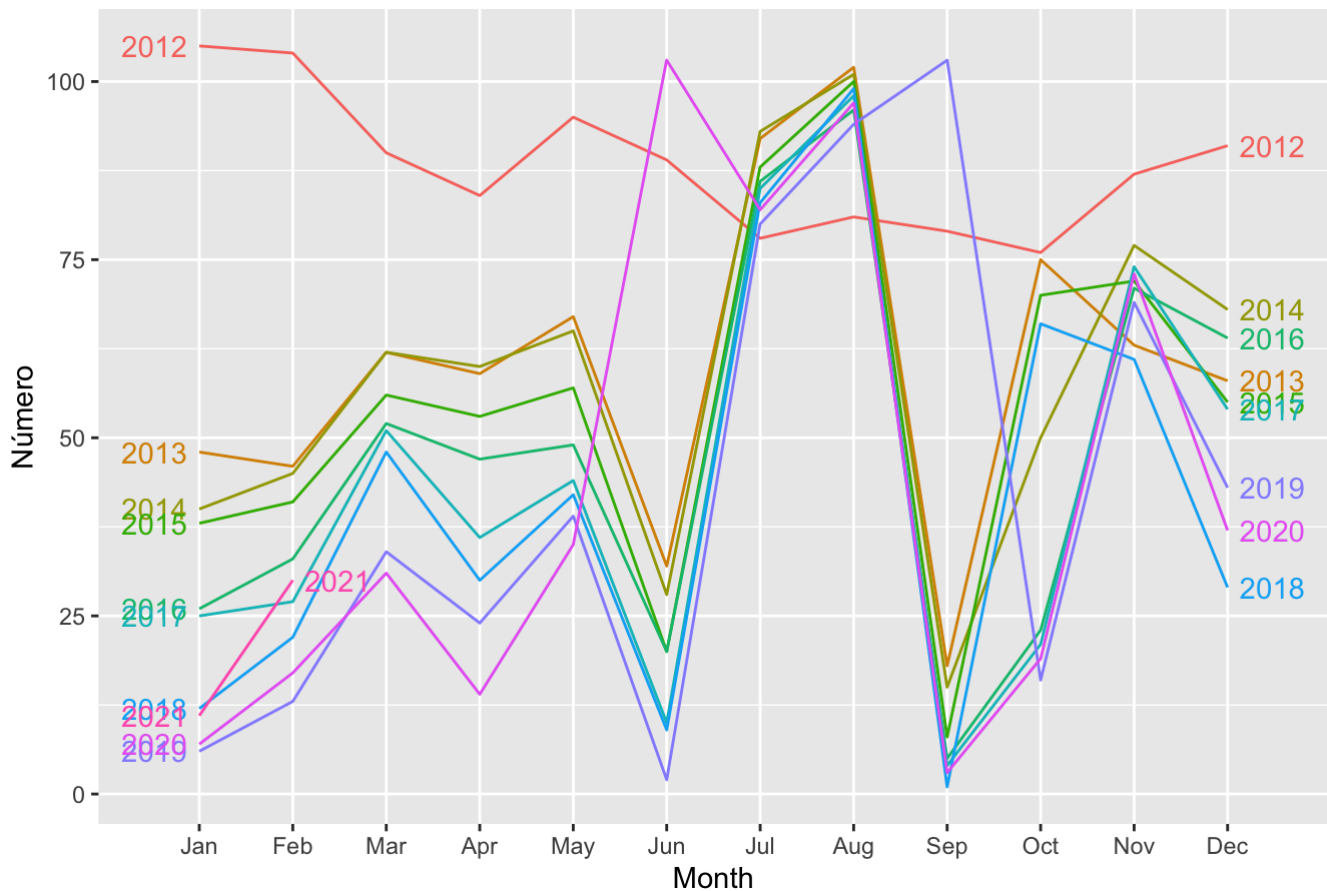
Serie de vuelos



2.6)

```
ggseasonplot(metro, year.labels=TRUE, year.labels.left=TRUE) + ylab("Número") +  
ggtitle("Seasonal plot: viajeros metro Sevilla")
```

Seasonal plot: viajeros metro Sevilla



Nos centramos en la serie viajeros en metro en Sevilla. En primer lugar, realizamos la descomposición estacional según el modelo multiplicativo. Después, representamos los componentes de la serie obtenidos.

En la gráfica que representa la estacionalidad, podemos ver que es la representación de los coeficientes estacionales, por lo que se repite de manera constante.

Según los coeficientes de estacionalidad observemos que el mayor es 1.93, que corresponde al mes de agosto. El menor de los coeficientes es el del mes de enero, 0.46.

Recordamos que para estudiar el comportamiento estacional resulta útil la representación gráfica de los valores de la serie, dibujando cada año en un color diferente. Como podemos ver, los años tienen la misma estructura, salvo en 2012, en la gráfica de los valores de la serie dibujado cada año en un color diferente, y salvo el año 2020, año de la pandemia. Por otro lado, se ve que va aumentando el número de viajeros cada año.

En conclusion, una serie temporal es el resultado de observar los valores de una variable a lo largo del tiempo en intervalos regulares. Por ello, la representación gráfica tiene un comportamiento estacional. De hecho, las fluctuaciones estacionales son aproximadamente constantes en el tiempo, salvo en el ggseasonplot.

3. Para comprobar la eficacia de los métodos de predicción que vamos a hacer en los siguientes apartados reservamos los últimos datos observados (un periodo en las series estacionales o aproximadamente

10 observaciones) para comparar con las predicciones realizadas por cada uno de los métodos.

```
# 3)
train <- window(metro, end=c(2018,12), frequency = 12)
```

Reservaremos los datos de 2019 y 2020 para no utilizarlos en el entrenamiento.

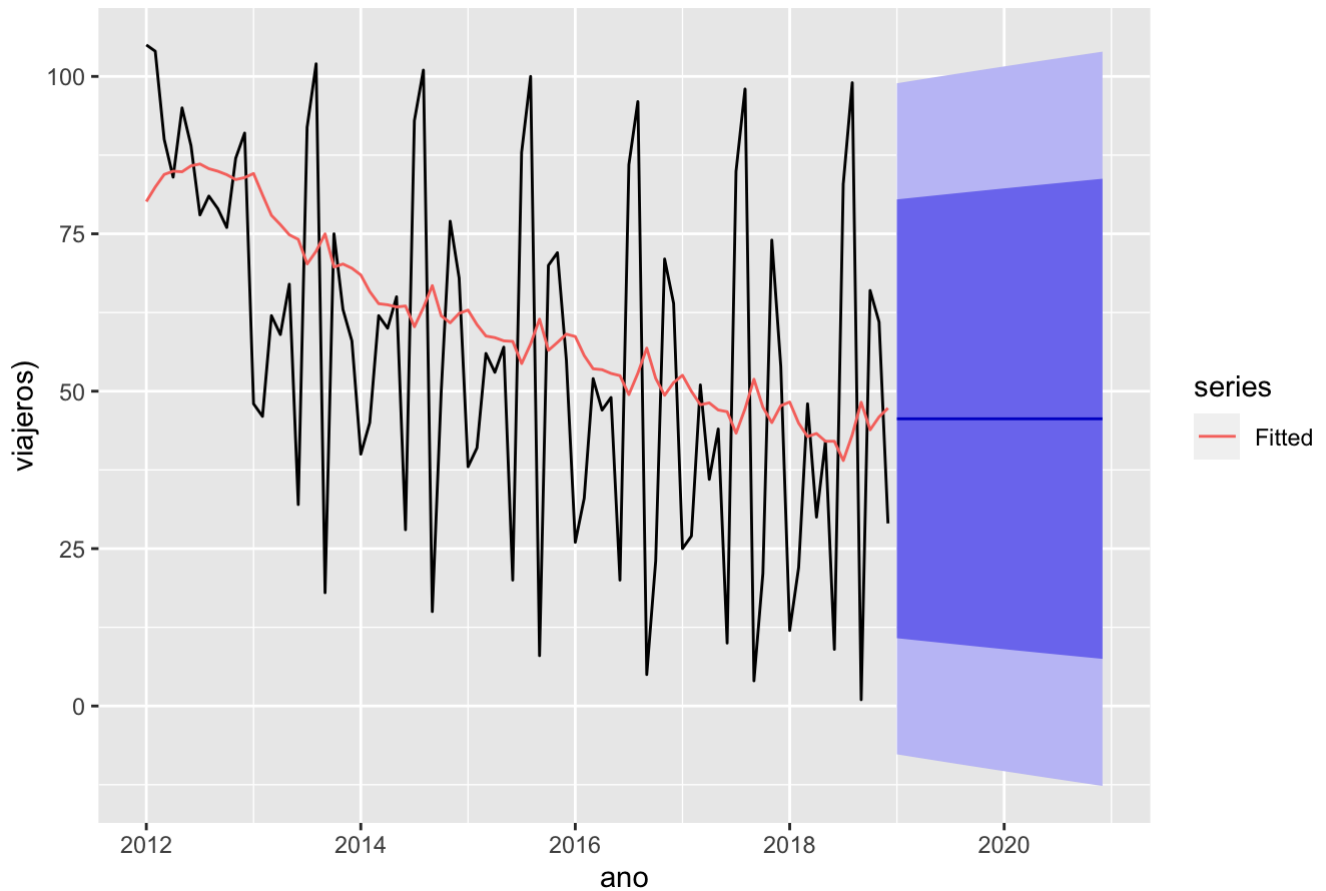
4. Encontrar el modelo de suavizado exponencial más adecuado. Para dicho modelo, representar gráficamente la serie observada y la suavizada con las predicciones para un periodo que se considere adecuado.

```
# 4.1)
metro_sl=ses(train,alpha=NULL,h=24)
print(metro_sl)
```

##	Point Forecast	Lo 80	Hi 80	Lo 95	Hi 95
## Jan 2019	45.6175	10.773928	80.46106	-7.671142	98.90613
## Feb 2019	45.6175	10.624895	80.61010	-7.899068	99.13406
## Mar 2019	45.6175	10.476495	80.75850	-8.126028	99.36102
## Apr 2019	45.6175	10.328718	80.90627	-8.352033	99.58702
## May 2019	45.6175	10.181557	81.05343	-8.577095	99.81209
## Jun 2019	45.6175	10.035006	81.19999	-8.801227	100.03622
## Jul 2019	45.6175	9.889055	81.34594	-9.024439	100.25943
## Aug 2019	45.6175	9.743698	81.49129	-9.246744	100.48174
## Sep 2019	45.6175	9.598928	81.63606	-9.468151	100.70314
## Oct 2019	45.6175	9.454737	81.78025	-9.688672	100.92366
## Nov 2019	45.6175	9.311119	81.92387	-9.908317	101.14331
## Dec 2019	45.6175	9.168066	82.06693	-10.127096	101.36209
## Jan 2020	45.6175	9.025573	82.20942	-10.345020	101.58001
## Feb 2020	45.6175	8.883633	82.35136	-10.562099	101.79709
## Mar 2020	45.6175	8.742239	82.49275	-10.778343	102.01333
## Apr 2020	45.6175	8.601385	82.63361	-10.993760	102.22875
## May 2020	45.6175	8.461065	82.77393	-11.208361	102.44335
## Jun 2020	45.6175	8.321273	82.91372	-11.422154	102.65715
## Jul 2020	45.6175	8.182003	83.05299	-11.635149	102.87014
## Aug 2020	45.6175	8.043250	83.19174	-11.847355	103.08235
## Sep 2020	45.6175	7.905006	83.32999	-12.058780	103.29377
## Oct 2020	45.6175	7.767268	83.46772	-12.269432	103.50442
## Nov 2020	45.6175	7.630029	83.60496	-12.479321	103.71431
## Dec 2020	45.6175	7.493284	83.74171	-12.688454	103.92345

```
autoplot(metro_sl) + autolayer(fitted(metro_sl), series="Fitted") + ylab("viajeros")
+ xlab("ano")
```

Forecasts from Simple exponential smoothing



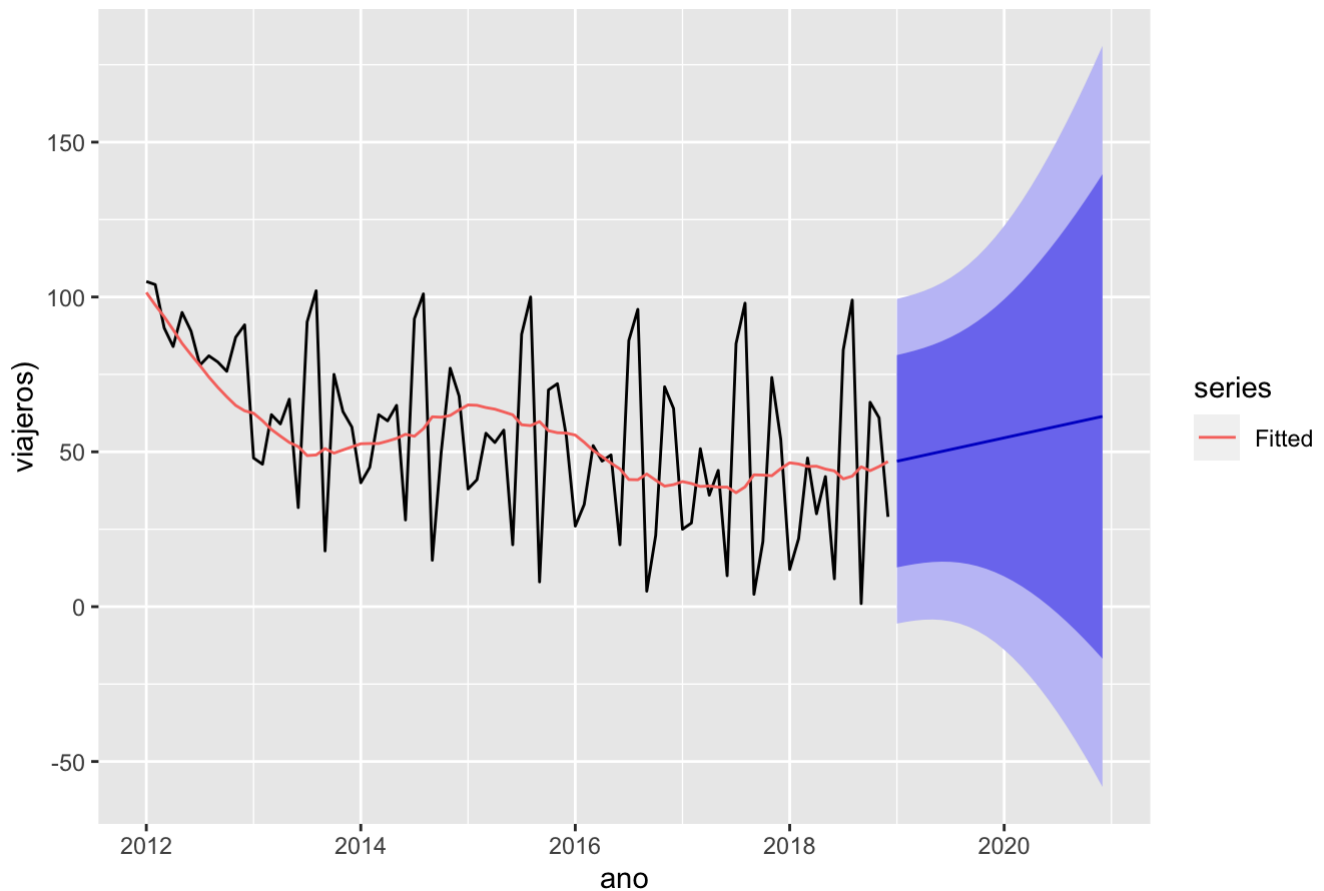
```
knitr::kable(metro_sl$model$par, digits =4,caption = "Parámetros del modelo")
```

Parámetros del modelo

	x
alpha	0.0926
l	80.1260

```
# 4.2)
metro_sh <- holt(train, h=24)
autoplot(metro_sh) + autolayer(fitted(metro_sh), series="Fitted") + ylab("viajeros")
+ xlab("ano")
```

Forecasts from Holt's method

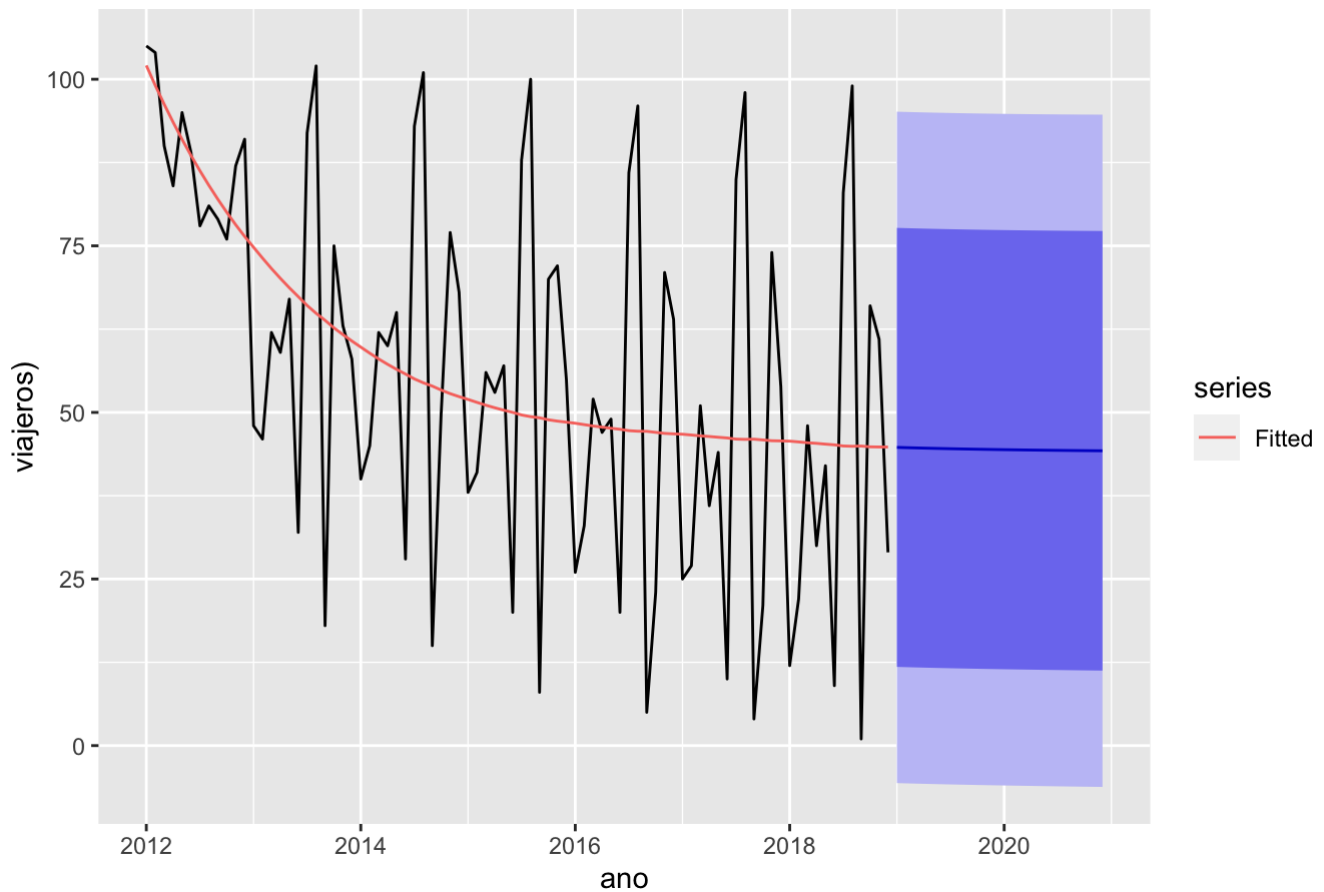


```
print(metro_sh)
```

##	Point	Forecast	Lo 80	Hi 80	Lo 95	Hi 95
##	Jan 2019	46.96314	12.692487	81.23379	-5.449300	99.37557
##	Feb 2019	47.59234	13.262836	81.92184	-4.910105	100.09479
##	Mar 2019	48.22154	13.759987	82.68310	-4.482860	100.92595
##	Apr 2019	48.85075	14.155670	83.54582	-4.210795	101.91229
##	May 2019	49.47995	14.423112	84.53679	-4.134858	103.09476
##	Jun 2019	50.10915	14.537841	85.68047	-4.292474	104.51078
##	Jul 2019	50.73836	14.478516	86.99820	-4.716284	106.19300
##	Aug 2019	51.36756	14.227636	88.50749	-5.433052	108.16817
##	Sep 2019	51.99676	13.772025	90.22150	-6.462930	110.45646
##	Oct 2019	52.62597	13.103000	92.14894	-7.819195	113.07113
##	Nov 2019	53.25517	12.216221	94.29412	-9.508487	116.01883
##	Dec 2019	53.88437	11.111244	96.65751	-11.531484	119.30023
##	Jan 2020	54.51358	9.790881	99.23628	-13.883885	122.91104
##	Feb 2020	55.14278	8.260474	102.02509	-16.557520	126.84308
##	Mar 2020	55.77199	6.527160	105.01681	-19.541476	131.08545
##	Apr 2020	56.40119	4.599215	108.20316	-22.823094	135.62547
##	May 2020	57.03039	2.485507	111.57528	-26.388811	140.44959
##	Jun 2020	57.65960	0.195072	115.12412	-30.224809	145.54400
##	Jul 2020	58.28880	-2.263196	118.84079	-34.317486	150.89508
##	Aug 2020	58.91800	-4.880752	122.71676	-38.653773	156.48978
##	Sep 2020	59.54721	-7.649529	126.74394	-43.221331	162.31574
##	Oct 2020	60.17641	-10.562003	130.91482	-48.008656	168.36147
##	Nov 2020	60.80561	-13.611221	135.22245	-53.005113	174.61634
##	Dec 2020	61.43482	-16.790796	139.66043	-58.200933	181.07057

```
# 4.3)
metro_shd <- holt(train, damped=TRUE, h=24)
autoplot(metro_shd) + autolayer(fitted(metro_shd), series="Fitted") + ylab("viajeros") + xlab("ano")
```

Forecasts from Damped Holt's method



```
knitr::kable(metro_shd$model$par, digits =4,caption = "parámetros Damped holt")
```

parámetros Damped holt

	x
alpha	0.0011
beta	0.0011
phi	0.9473
l	105.2415
b	-3.3457

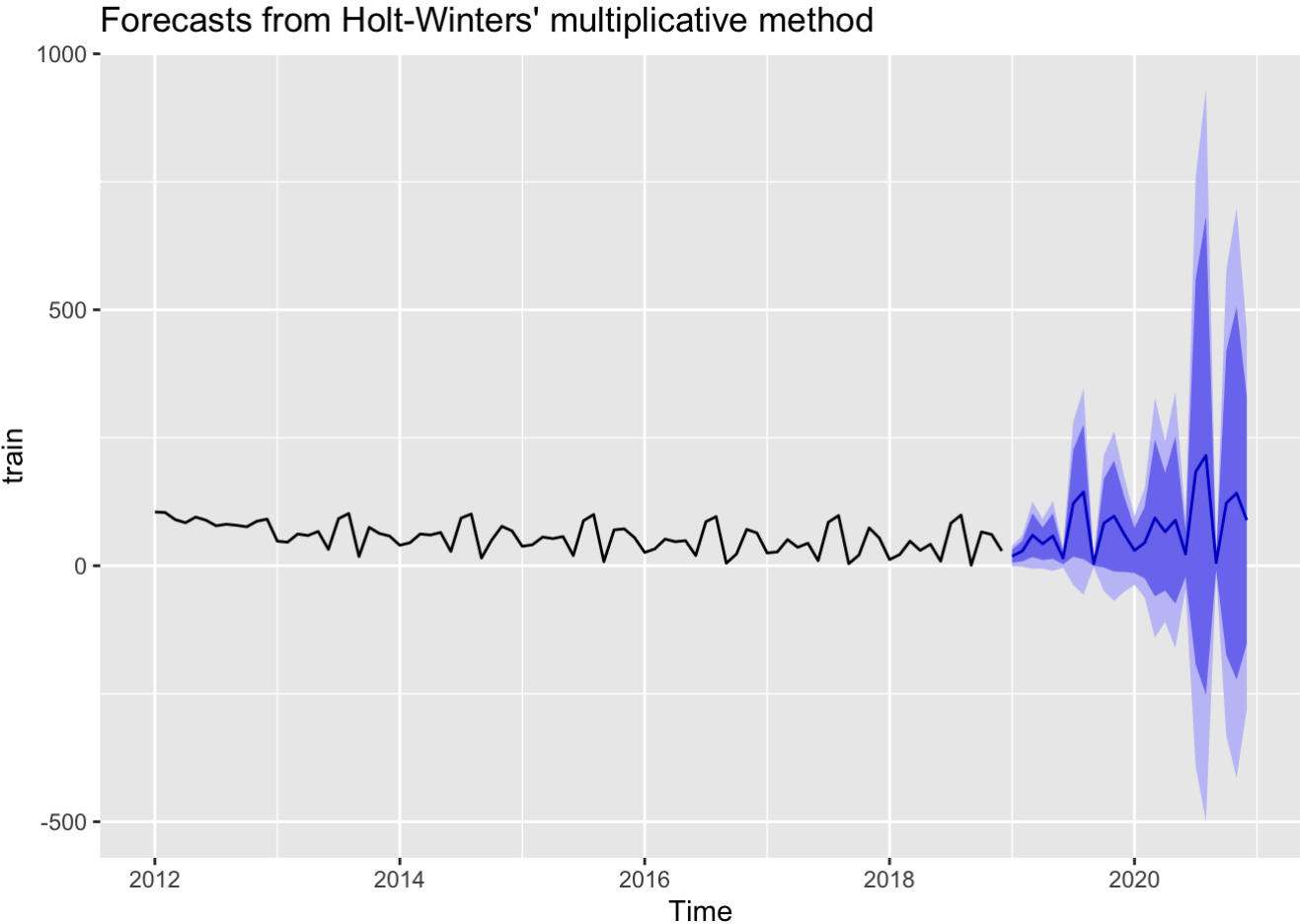
```
knitr::kable(accuracy(metro_shd), digits =4,caption = "Medidas de bon dad del ajuste damped-holt")
```

Medidas de bon dad del ajuste damped-holt

ME	RMSE	MAE	MPE	MAPE	MASE	ACF1
----	------	-----	-----	------	------	------

	ME	RMSE	MAE	MPE	MAPE	MASE	ACF1
Training set	-0.5988	24.9249	19.7495	-107.1839	130.3631	1.6948	-0.133

```
# 4.4)
metro_shw <- hw(train, h=24, seasonal="multiplicative",level = c(80, 95))
autoplot(metro_shw)
```



```
knitr::kable(metro_shw$model$par, digits =4,caption = "parámetros Holt-winters")
```

parámetros Holt-winters

	x
alpha	0.0797
beta	0.0586
gamma	0.5426
l	148.7985
b	-3.1376
s0	1.3155
s1	1.2690
s2	1.1718

x

s3	0.3311
s4	1.3579
s5	1.1261
s6	0.9216
s7	0.9720
s8	0.9000
s9	0.8565
s10	0.8878

```
knitr::kable(accuracy(metro_shw), digits =4,caption = "Medidas Holt-winters")
```

Medidas Holt-winters

	ME	RMSE	MAE	MPE	MAPE	MASE	ACF1
Training set	1.8053	17.0152	12.9369	-13.7378	33.5516	1.1102	-0.0173

```
knitr::kable(metro_shw, digits =4,caption = "Predicciones ")
```

Predicciones

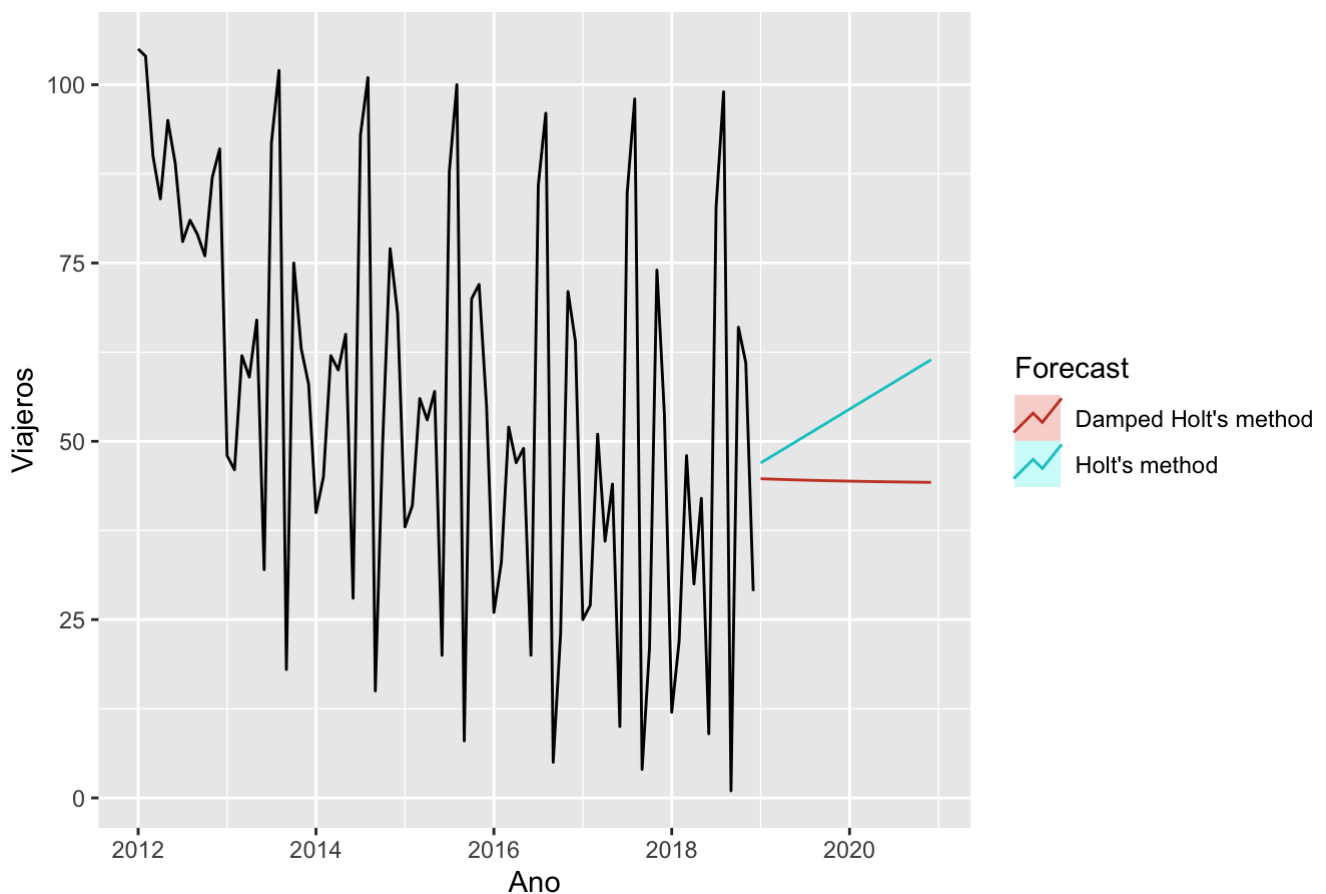
	Point Forecast	Lo 80	Hi 80	Lo 95	Hi 95
Jan 2019	18.6932	5.7483	31.6381	-1.1043	38.4907
Feb 2019	28.5235	8.5467	48.5003	-2.0283	59.0753
Mar 2019	59.8028	17.0439	102.5616	-5.5913	125.1968
Apr 2019	42.9015	11.2615	74.5416	-5.4877	91.2908
May 2019	58.1093	13.4580	102.7605	-10.1789	126.3975
Jun 2019	15.1627	2.9151	27.4103	-3.5684	33.8938
Jul 2019	121.9577	17.6547	226.2608	-37.5600	281.4755
Aug 2019	144.1350	12.9147	275.3553	-56.5491	344.8192
Sep 2019	4.1268	0.1129	8.1408	-2.0120	10.2656
Oct 2019	83.1829	-3.4466	169.8124	-49.3055	215.6714
Nov 2019	96.9349	-11.2683	205.1381	-68.5476	262.4174
Dec 2019	61.2185	-12.0399	134.4770	-50.8206	173.2577
Jan 2020	29.8349	-14.1049	73.7747	-37.3652	97.0350
Feb 2020	45.0147	-24.8683	114.8976	-61.8621	151.8914
Mar 2020	93.3879	-59.6705	246.4463	-140.6948	327.4706

	Point Forecast	Lo 80	Hi 80	Lo 95	Hi 95
Apr 2020	66.3344	-48.5630	181.2318	-109.3860	242.0548
May 2020	89.0147	-74.0363	252.0657	-160.3503	338.3797
Jun 2020	23.0237	-21.5914	67.6388	-45.2092	91.2566
Jul 2020	183.6547	-192.8826	560.1921	-392.2095	759.5189
Aug 2020	215.3535	-251.7794	682.4863	-499.0646	929.7715
Sep 2020	6.1202	-7.9231	20.1636	-15.3573	27.5977
Oct 2020	122.4954	-174.7666	419.7575	-332.1277	577.1186
Nov 2020	141.7926	-222.0127	505.5979	-414.5995	698.1847
Dec 2020	88.9787	-152.3272	330.2845	-280.0667	458.0241

```
# 4.5)
```

```
autoplot(train) + autolayer(metro_sh, series="Holt's method", PI=FALSE) + autolayer(metro_shd, series="Damped Holt's method", PI=FALSE) + ggtitle("Forecasts from Holt's method") + xlab("Ano") + ylab("Viajeros") + guides(colour=guide_legend(title="Forecast"))
```

Forecasts from Holt's method



Observemos con el método suavizado exponencial simple que la predicción permanece constante para todos los años. Vemos también que los valores ajustados y las predicciones con este método no son muy buenos.

Por otra parte, vemos que el método de la función holt da unas predicciones más adecuadas, puesto que tiene en cuenta los cambios en la tendencia.

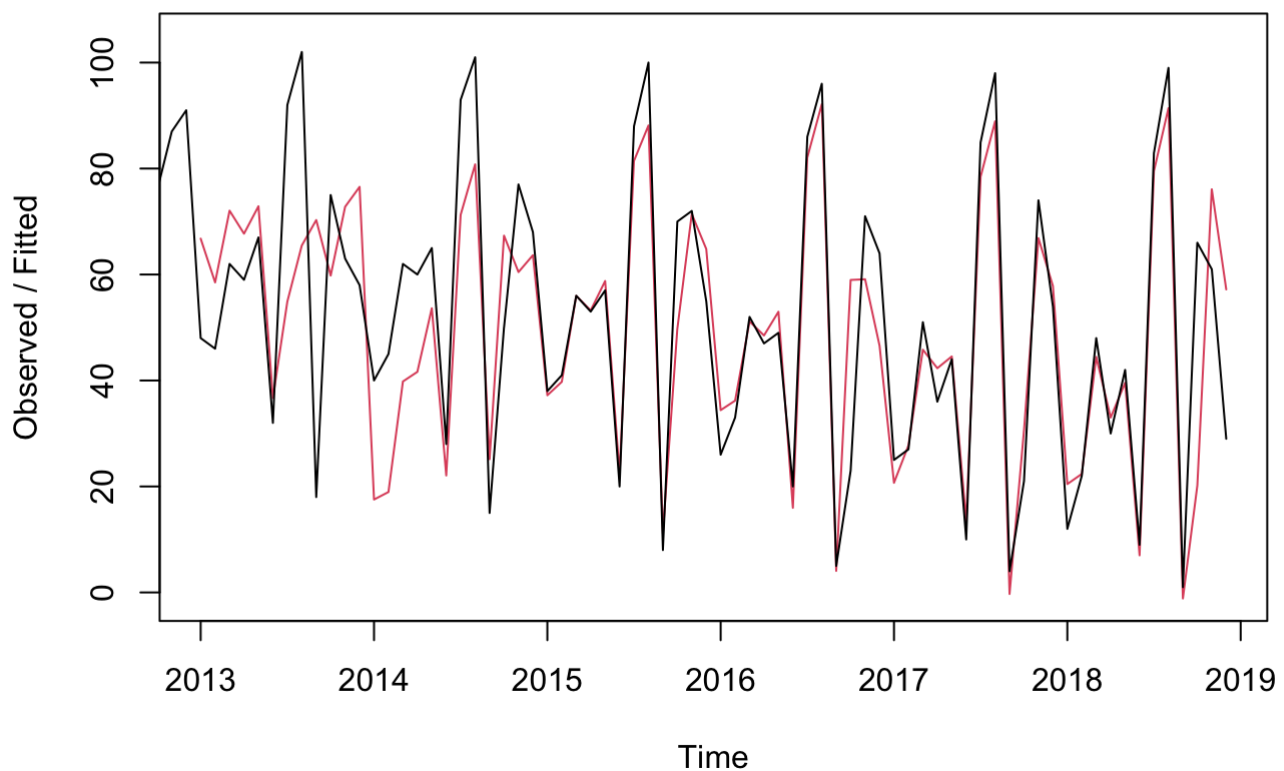
Pero si queremos predecir el número de viajeros en el metro de Sevilla un año después del último observado, utilizaremos el modelo de Holt-winters multiplicativo porque la serie es estacional.

Como podemos observar en las gráficas, este método da unas predicciones más adecuadas puesto que tiene en cuenta los cambios en la tendencia. Así que comprobamos en la representación gráfica final que el modelo de suavizado exponencial más adecuado es el Holt-Winters. De hecho, es favorable a la hora de predecir los picos estacionales del periodo elegido.

Comprobamos nuestra observación con otra representación gráfica a continuación:

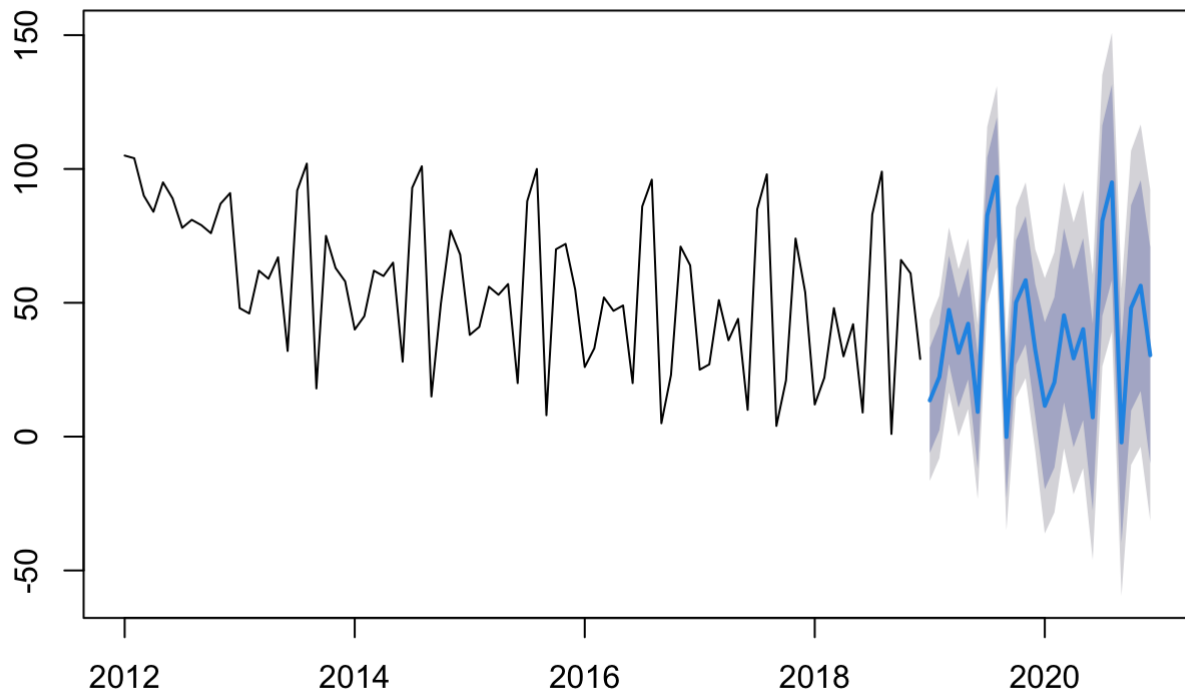
```
# 4.6)
LESB=HoltWinters(train)
plot(LESB)
```

Holt-Winters filtering



```
# 4.6)
metroforecast= forecast(LESB,h=24)
plot(metroforecast)
```


Forecasts from HoltWinters

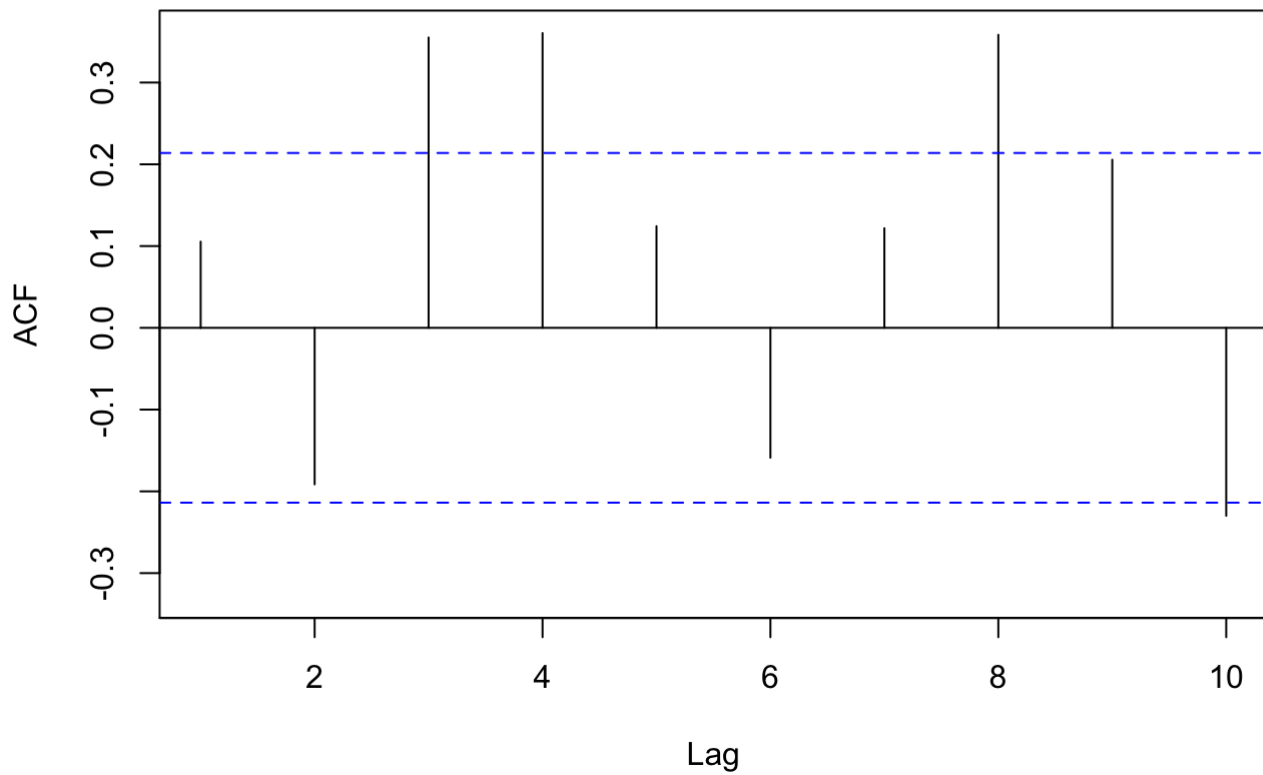


La representación confirma nuestra observación, el modelo de suavizado exponencial más adecuado es el Holt-Winters.

5. Representar la serie y los correlogramas. Decidir que modelo puede ser ajustado. Ajustar el modelo adecuado comprobando que sus residuales están incorrelados. (Sintaxis, tablas de los parámetros estimados y gráficos).

```
# 5.1)
corr<-Acf(train, lag=10)
```

Urban by metro

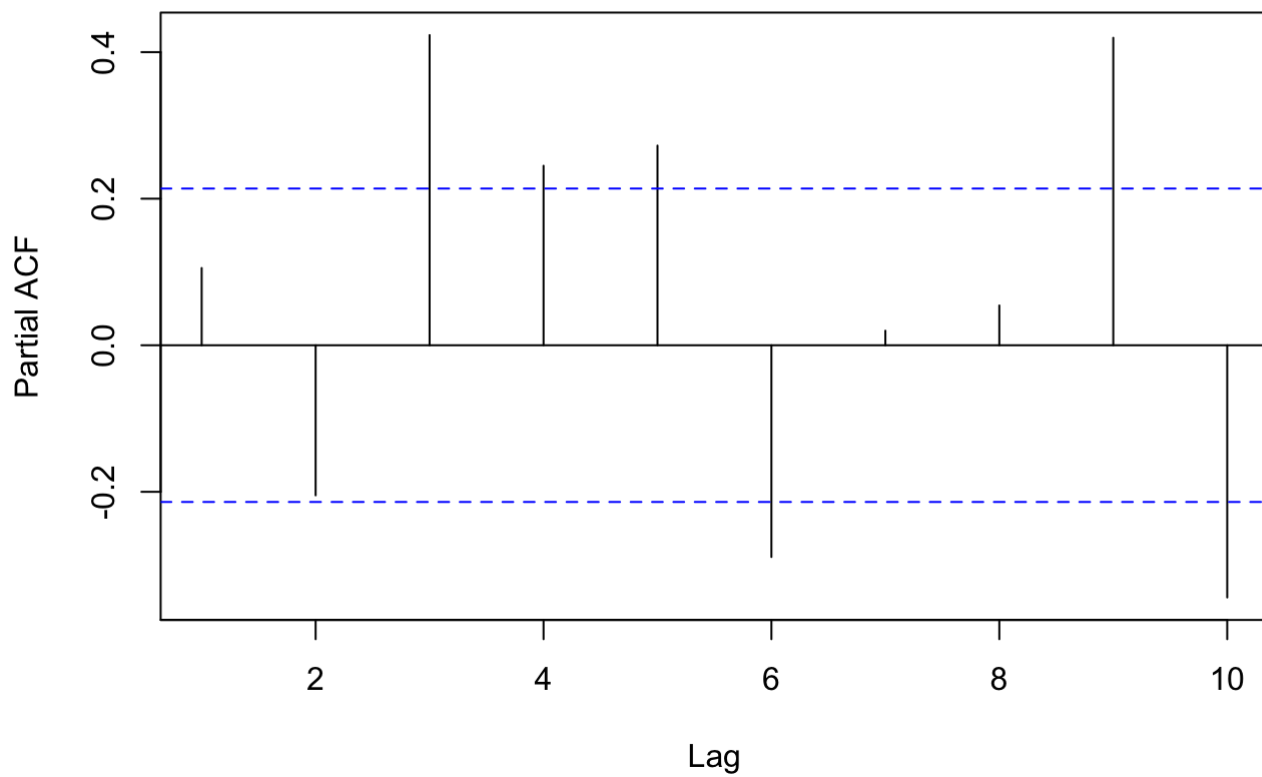


```
print(corr)
```

```
##  
## Autocorrelations of series 'train', by lag  
##  
##      0      1      2      3      4      5      6      7      8      9     10  
## 1.000  0.105 -0.191  0.355  0.360  0.124 -0.159  0.122  0.358  0.206 -0.230
```

```
corrp<-Pacf(train, lag=10)
```

Series train

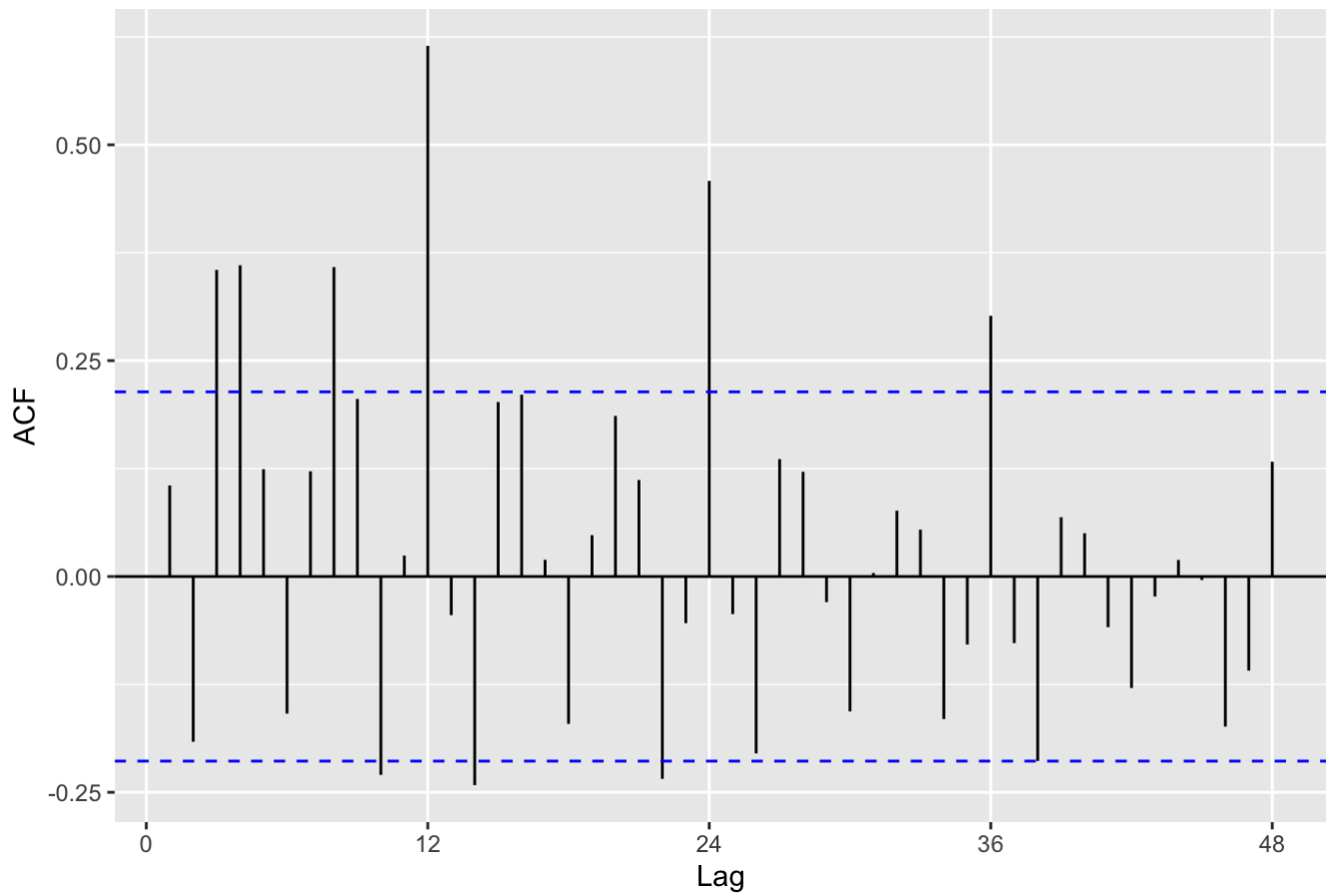


```
print(corrp)
```

```
##  
## Partial autocorrelations of series 'train', by lag  
##  
##      1      2      3      4      5      6      7      8      9     10  
## 0.105 -0.205  0.423  0.245  0.272 -0.289  0.020  0.054  0.420 -0.344
```

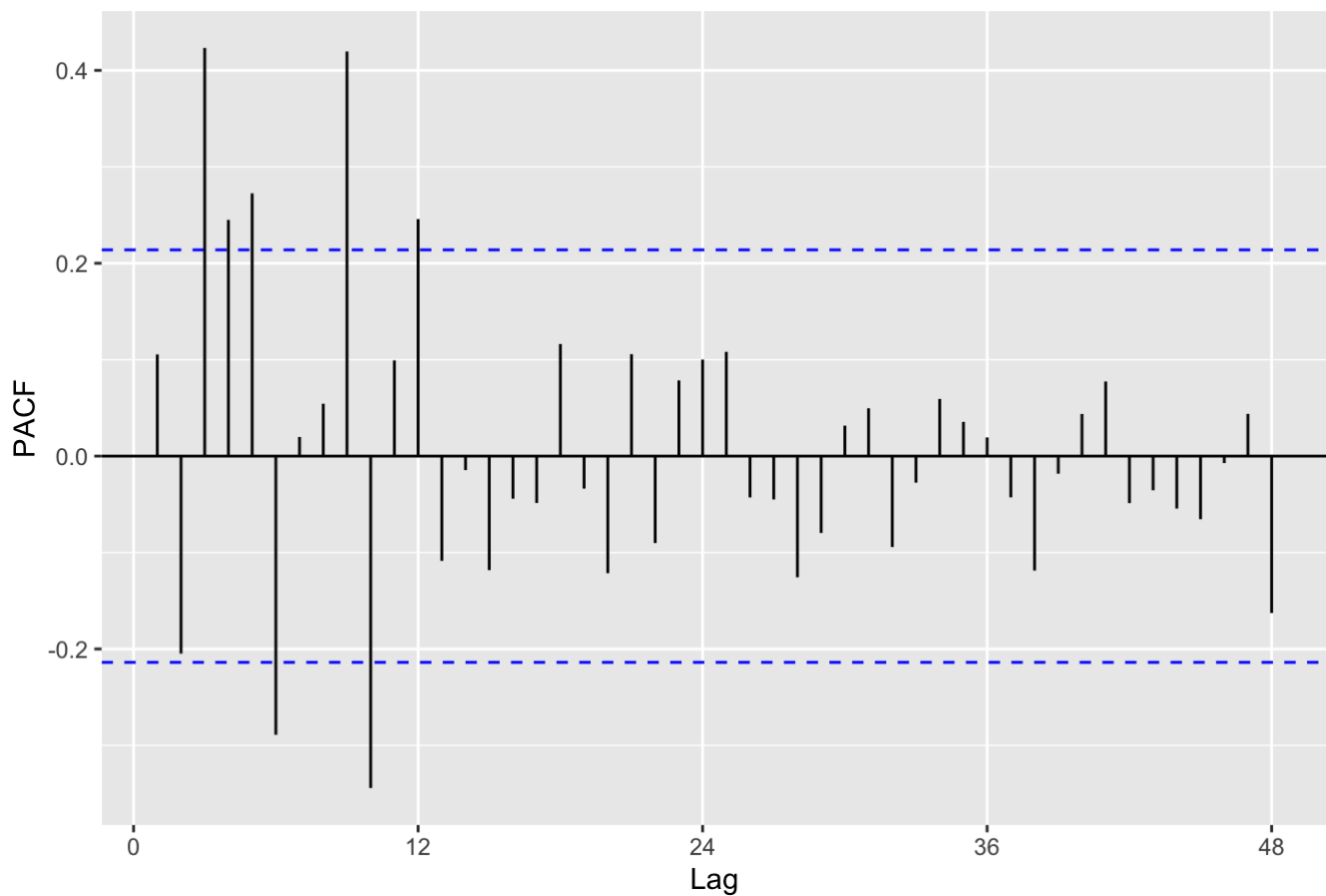
```
# 5.1.1)  
ggAcf(train, lag=48)
```

Series: train



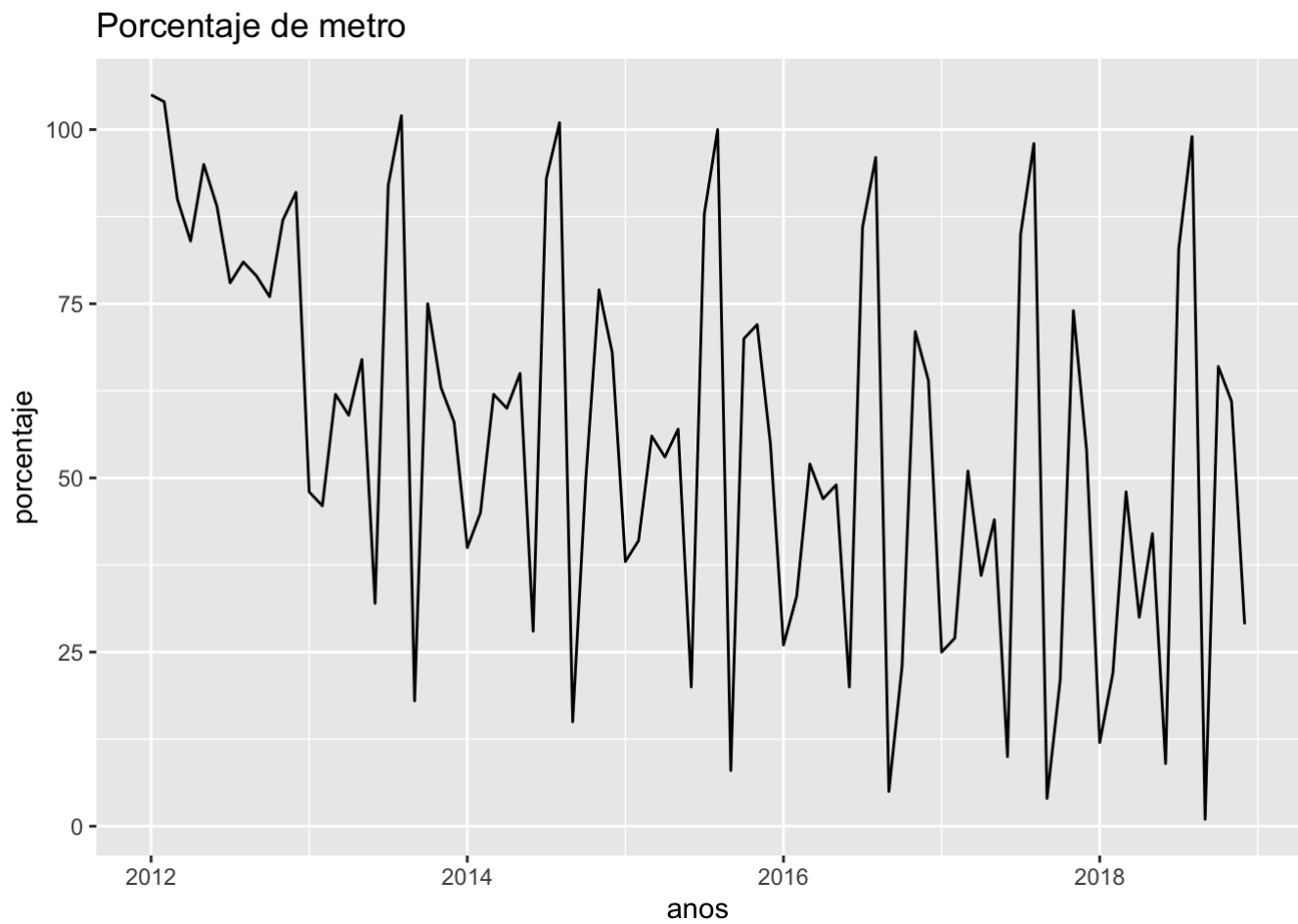
```
# 5.1.2)  
ggPacf(train, lag=48)
```

Series: train



```
# 5.1.3)
```

```
autoplot(train)+ ggtitle("Porcentaje de metro") + xlab("anos") + ylab("porcentaje")
```

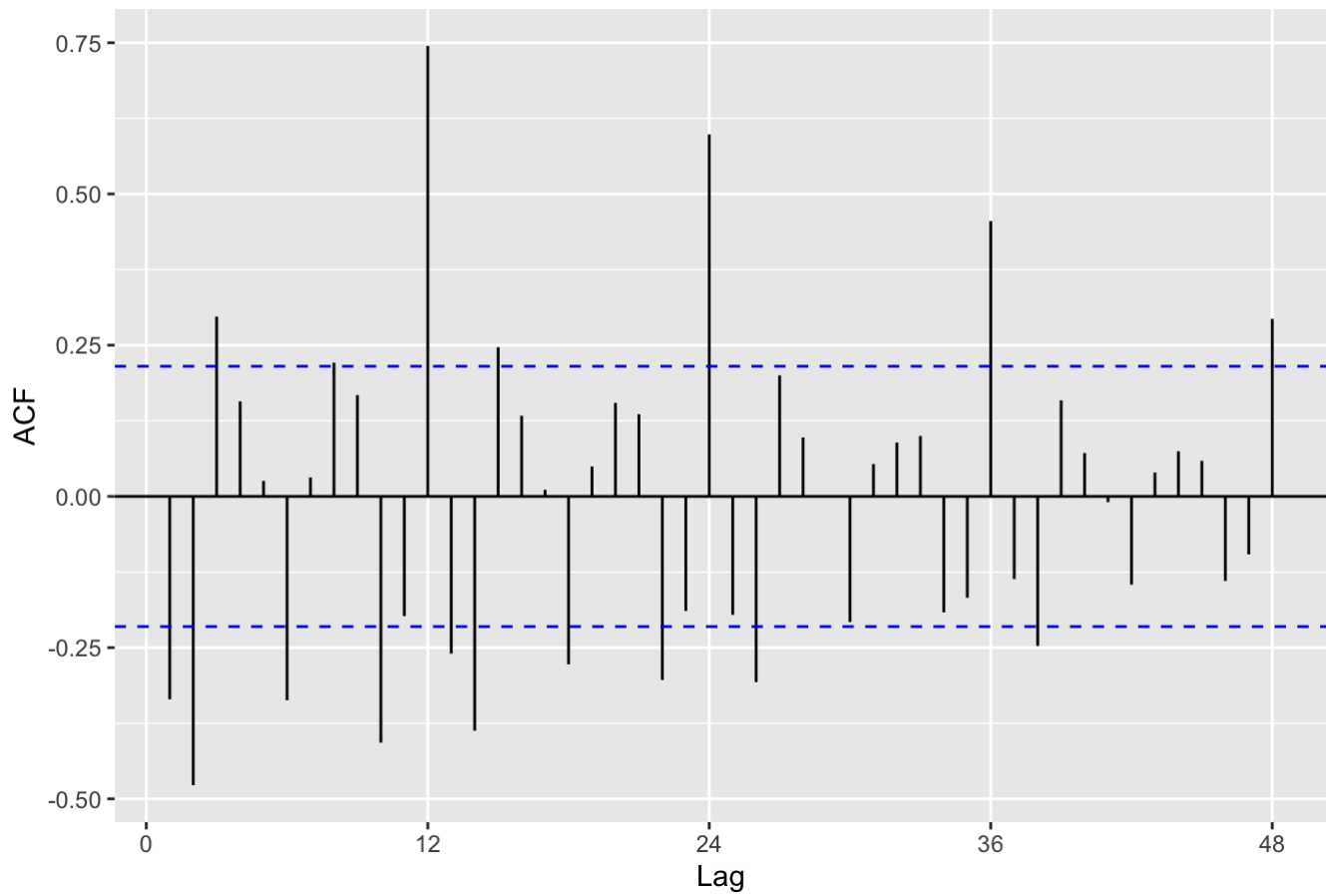


```
# 5.2)
```

```
# 5.2.1)
```

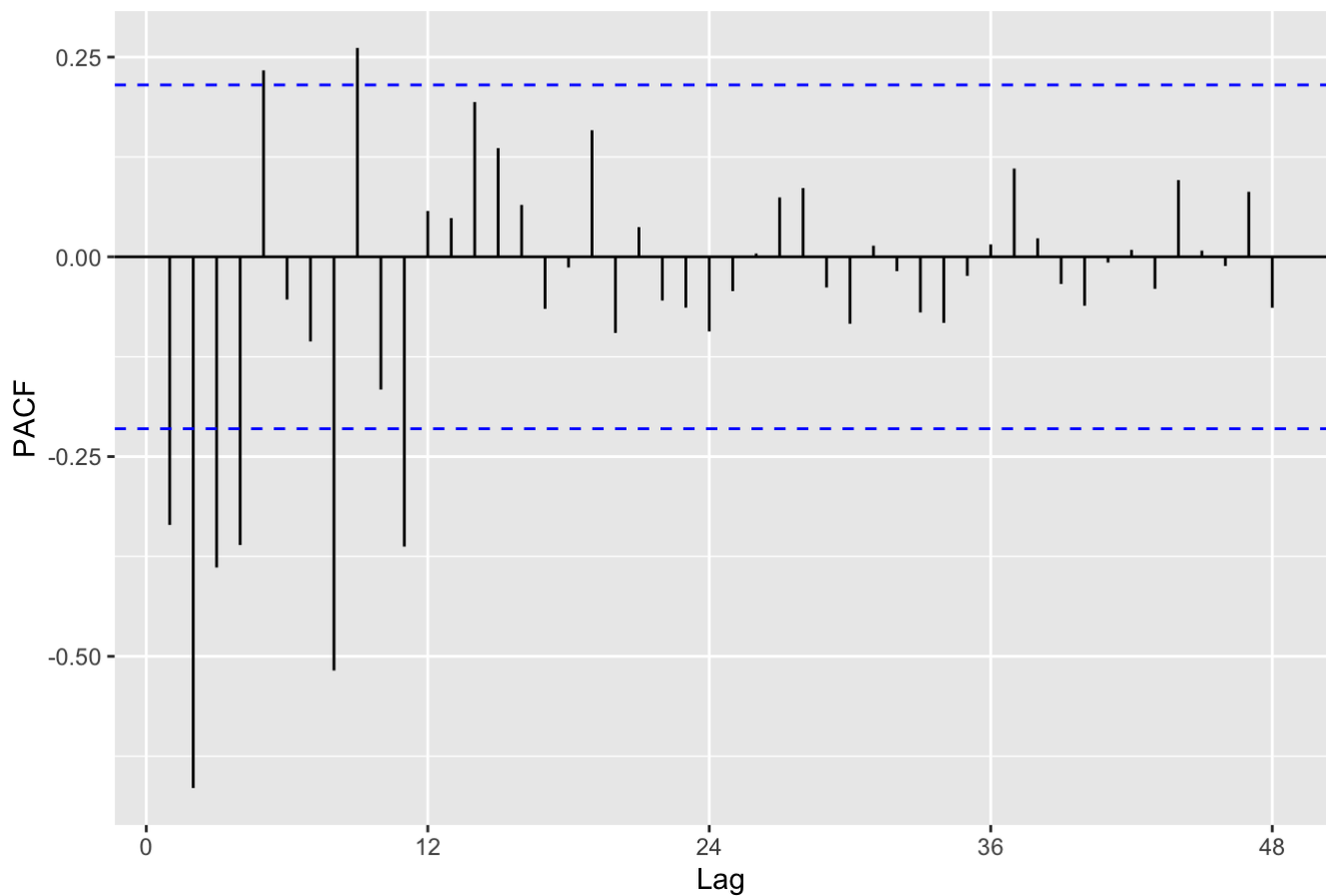
```
ggAcf(diff(train), lag=48)
```

Series: diff(train)



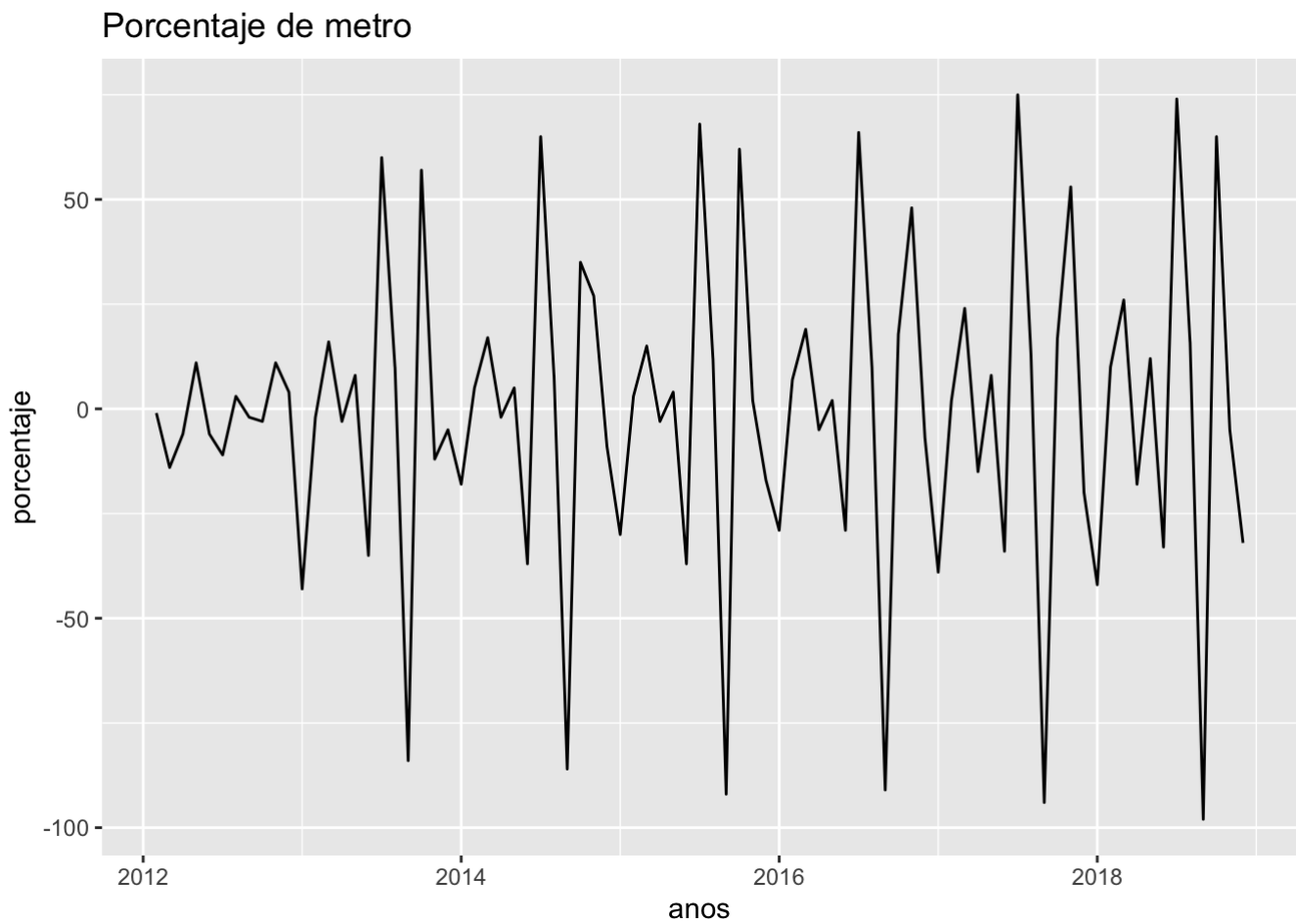
```
# 5.2.2)  
ggPacf(diff(train), lag=48)
```

Series: diff(train)



```
# 5.3.3
```

```
autoplot(diff(train))+ ggtitle("Porcentaje de metro") + xlab("anos") + ylab("porcenta  
je")
```

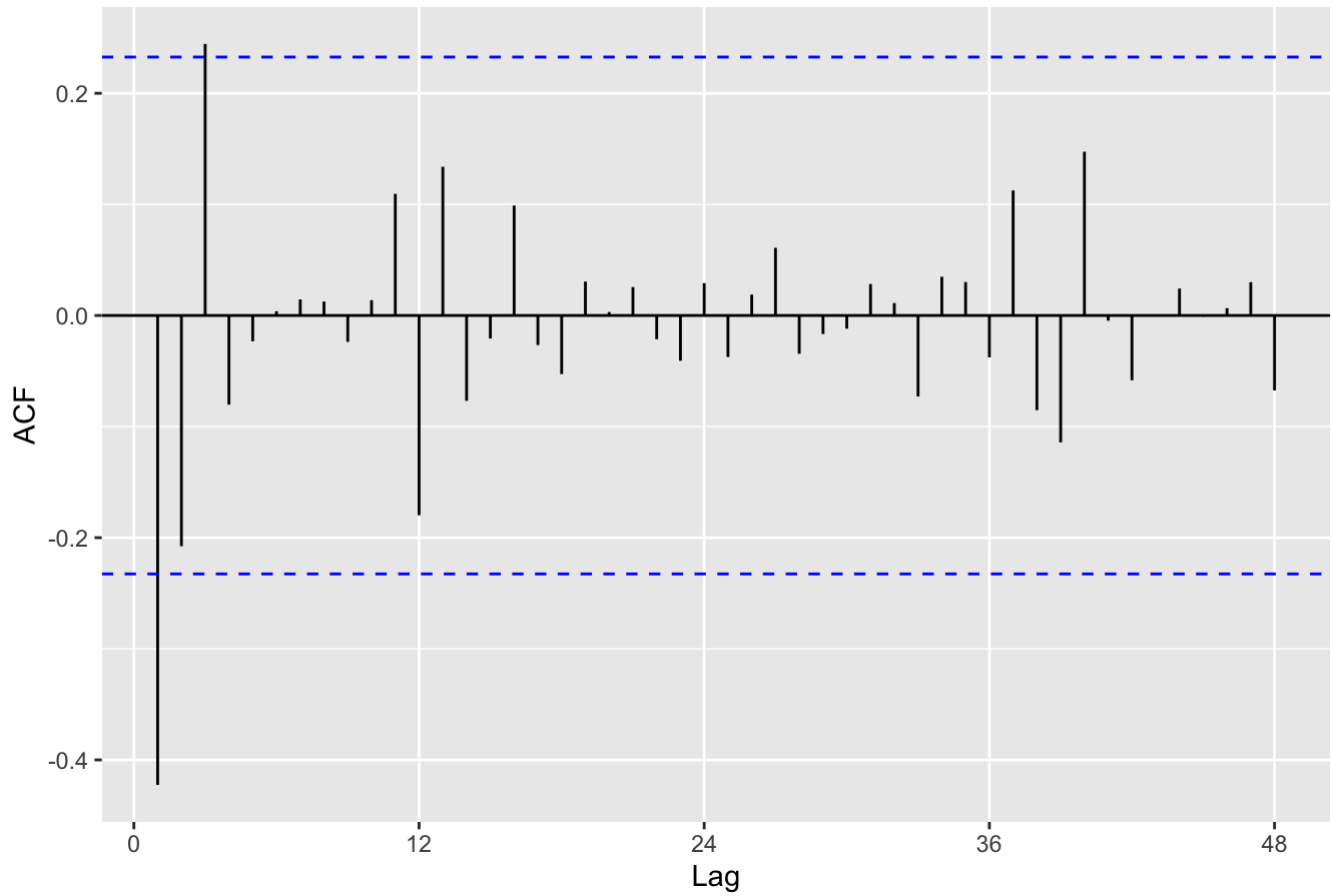


```
# 5.3)
```

```
# 5.3.1)
```

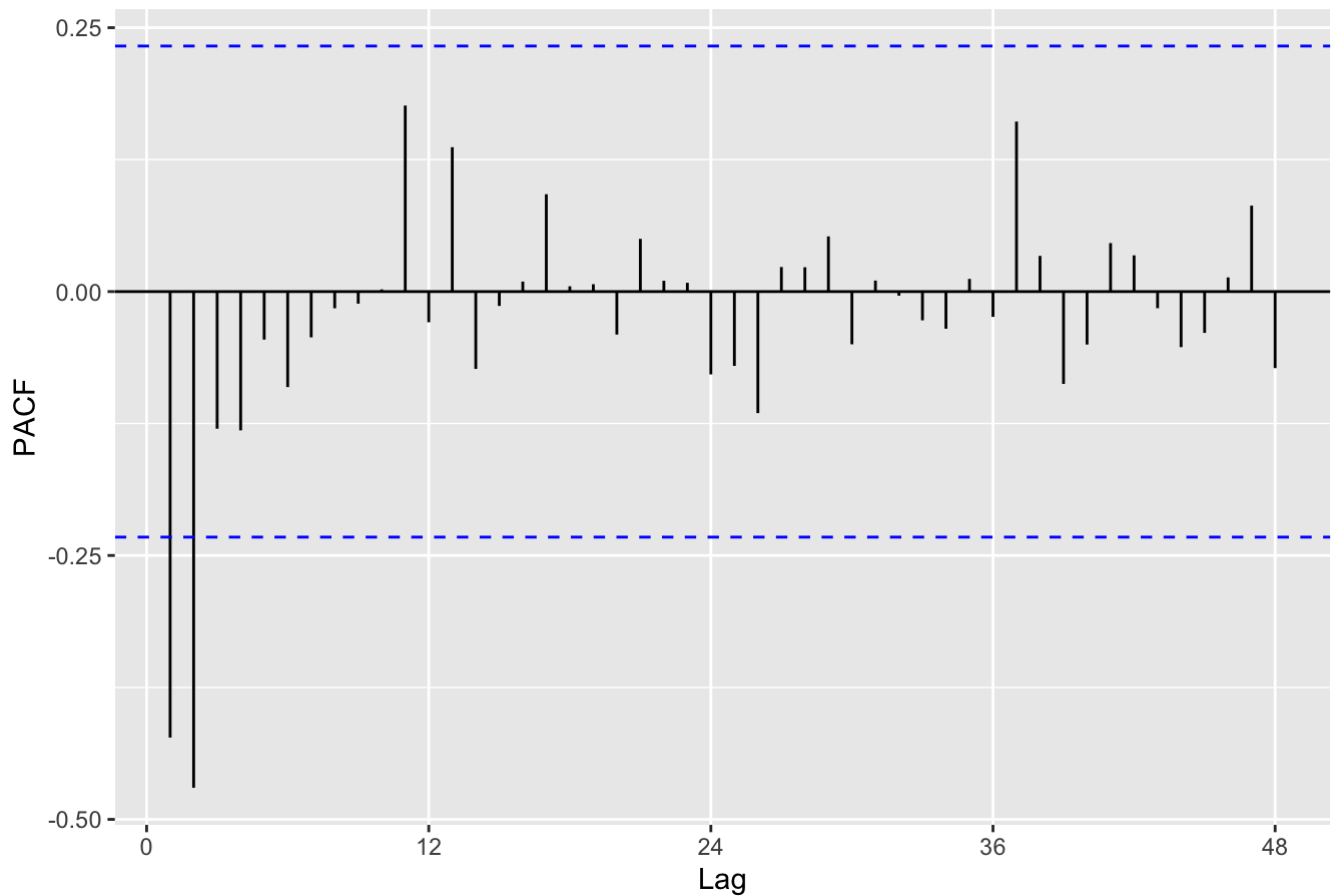
```
ggAcf(diff(diff(train),12), lag=48)
```

Series: diff(diff(train), 12)



```
# 5.3.2)  
ggPacf(diff(diff(train),12), lag=48)
```

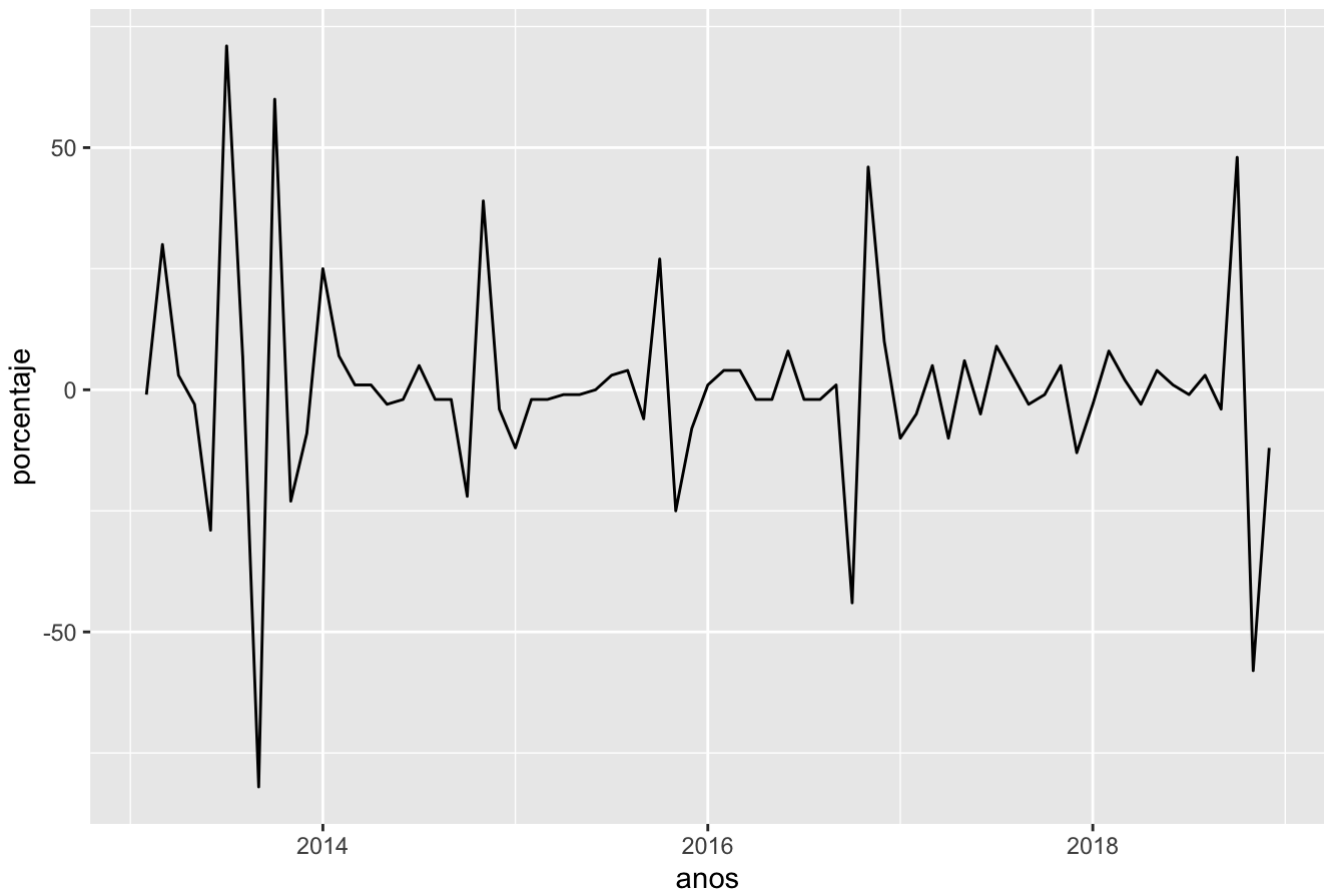
Series: diff(diff(train), 12)




```
# 5.3.3)
```

```
autoplot(diff(diff(train),12))+ ggtitle("Porcentaje de viajeros") +  
xlab("anos") + ylab("porcentaje")
```

Porcentaje de viajeros



- En el autocorrelograma simple, se observa un comportamiento repetitivo de las autocorrelaciones cada 12 meses. Puesto que en el gráfico de la serie hemos visto que la media no es constante porque la serie tiene tendencia y el ACF decrece de forma lenta, es necesario hacer una diferenciación. Además, el autoplot muestra una clara no estacionariedad.
- En la serie diferenciada, mediante una diferenciación de orden estacional, podemos ver que el comportamiento es parecido al autocorrelograma simple.
- Con la serie doblemente diferenciada vemos que el proceso ya es estacionario. Observamos que las autocorrelaciones decrecen de forma más rápida: el ACF se corta después del 1 y el PACF corta después del 2. Por ello, nuestro candidato a ajustar será: $ARIMA(1,1,0)(0,1,1)_{12}$.

Vamos a usar la función `auto.arima`. Esta función busca a través de combinaciones de parámetros de pedido y selecciona el conjunto que optimiza los criterios de ajuste del modelo. De hecho, la función `auto.arima` encuentra el mejor modelo Arima ajustando todos los órdenes hasta que consigue que los residuos estén incorrelados.

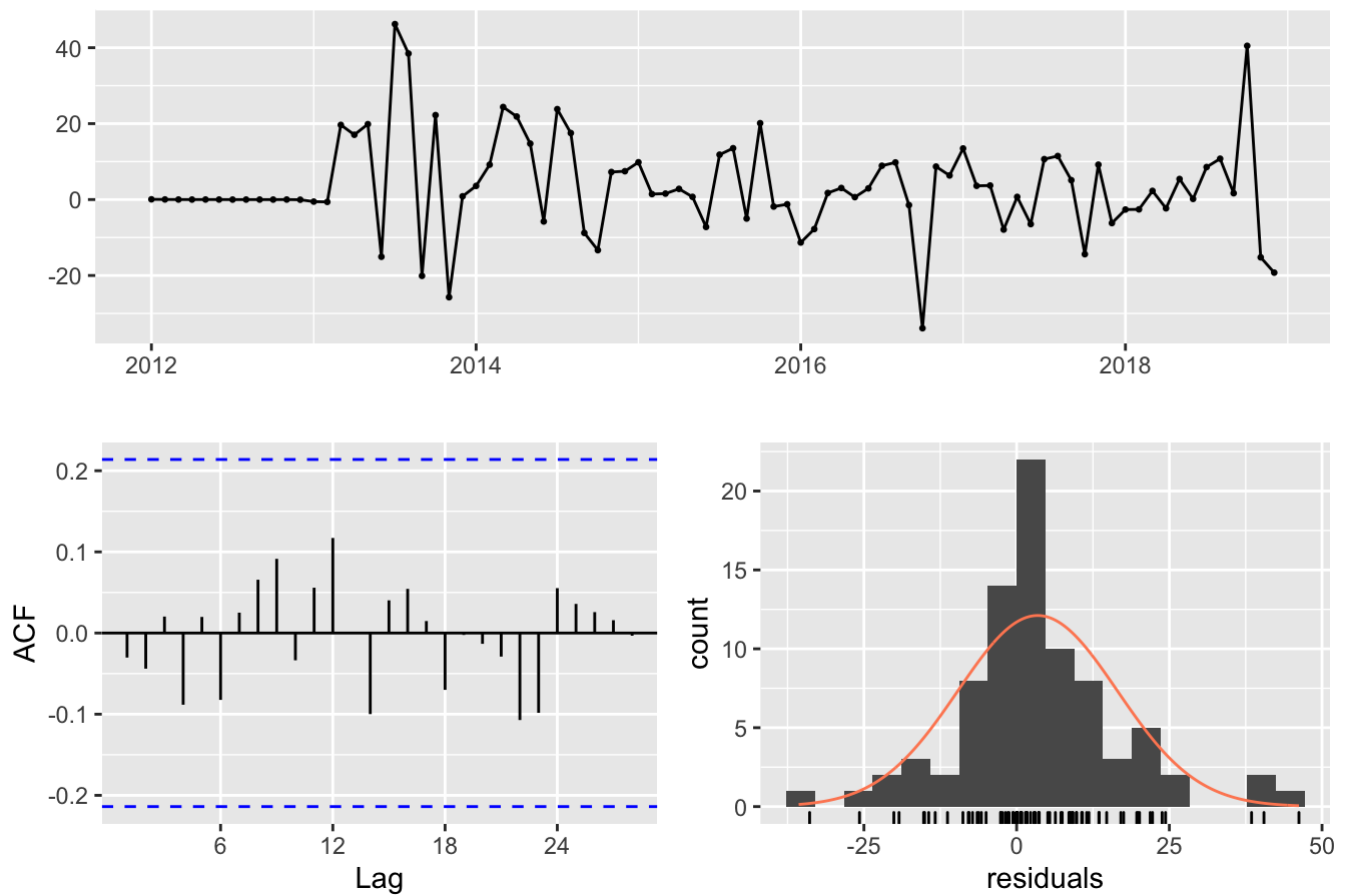
```
# 5.4)
```

```
# Model 1
```

```
fit <- auto.arima(train)
```

```
checkresiduals(fit)
```

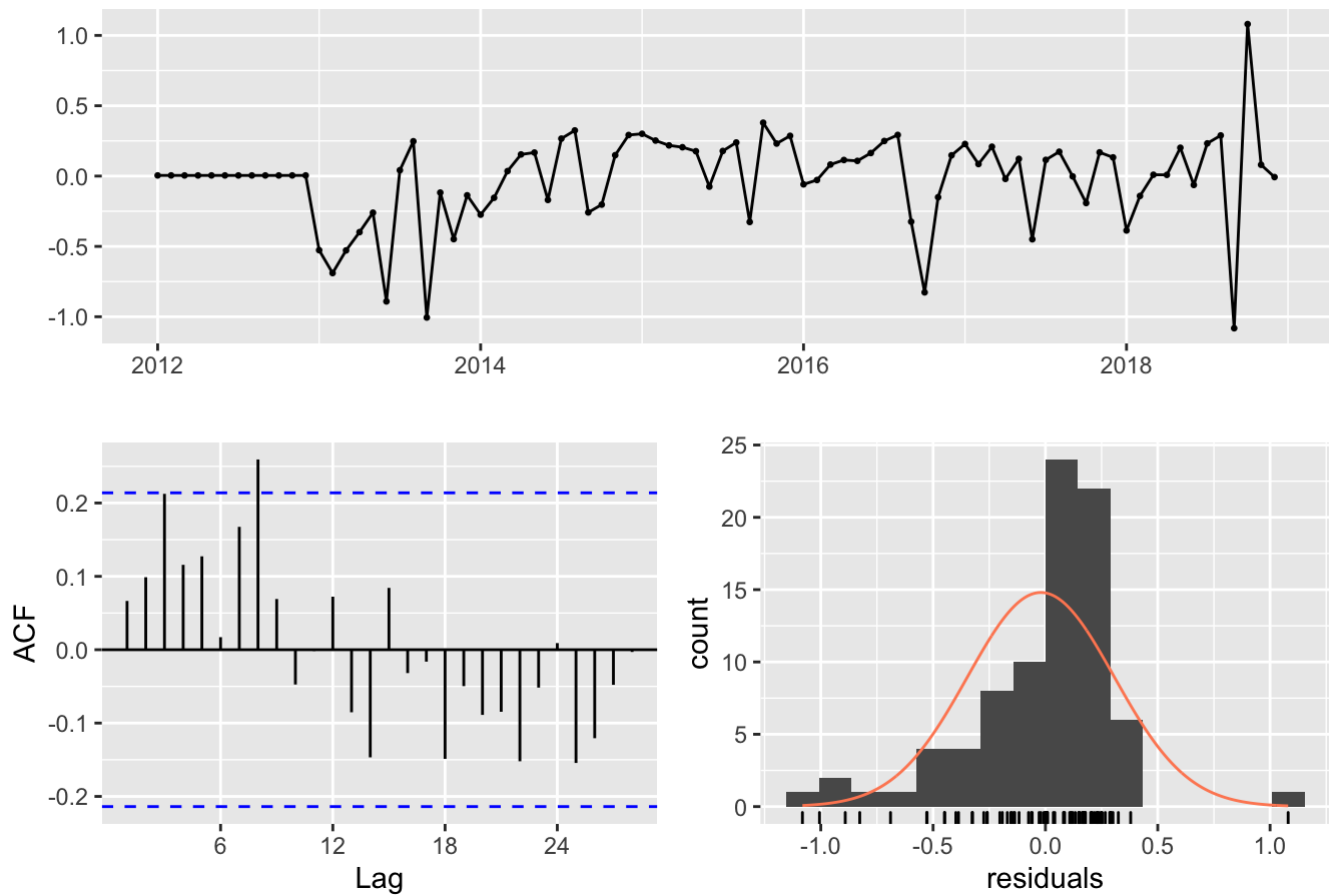
Residuals from ARIMA(2,1,1)(0,1,1)[12]



```
##
##  Ljung-Box test
##
## data:  Residuals from ARIMA(2,1,1)(0,1,1)[12]
## Q* = 6.2625, df = 13, p-value = 0.9361
##
## Model df: 4.    Total lags used: 17
```

```
# Model 1 (log)
fit1 <- auto.arima(log(train))
checkresiduals(fit1)
```

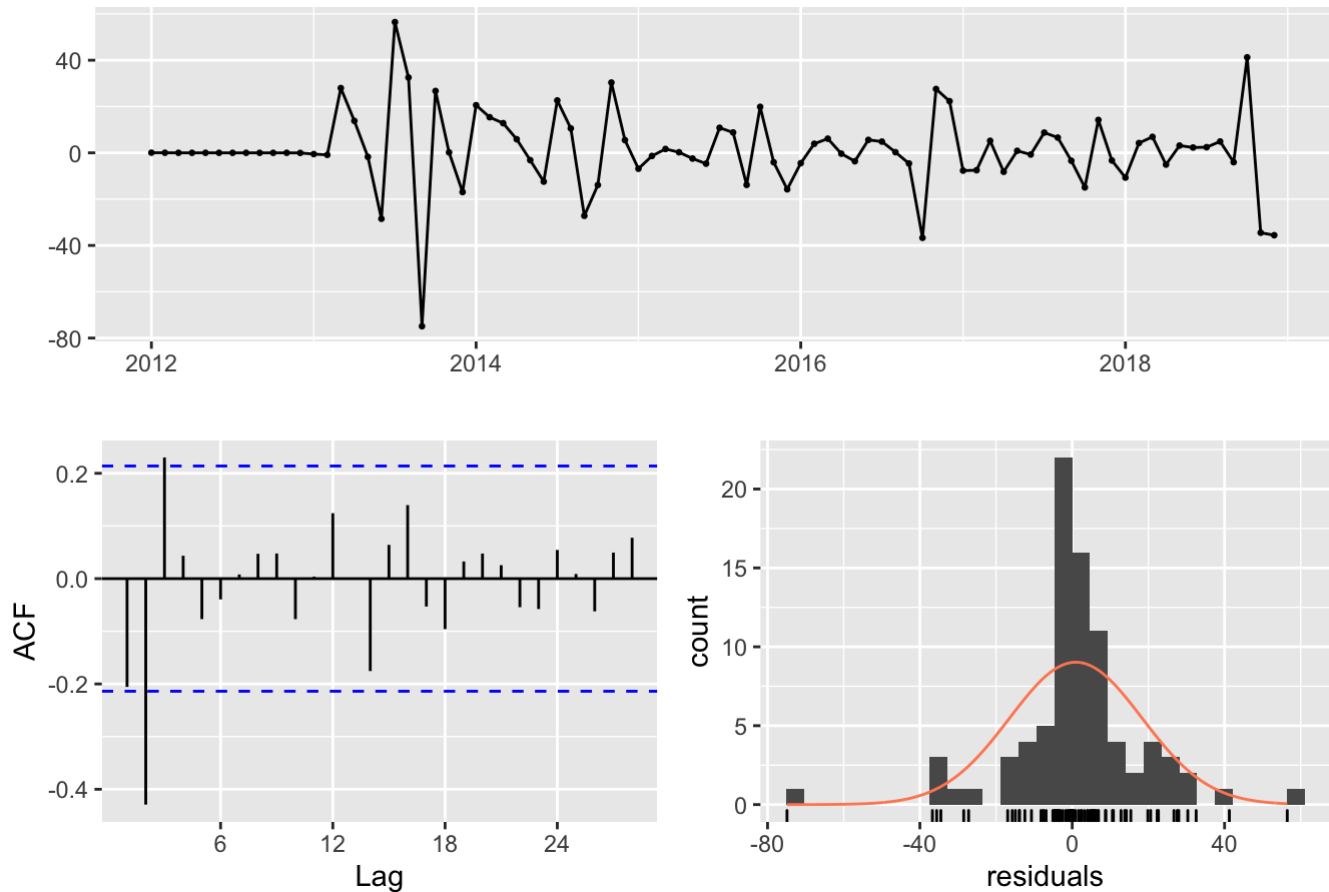
Residuals from ARIMA(2,0,0)(1,1,0)[12] with drift



```
##
##  Ljung-Box test
##
## data:  Residuals from ARIMA(2,0,0)(1,1,0)[12] with drift
## Q* = 22.057, df = 13, p-value = 0.05448
##
## Model df: 4.    Total lags used: 17
```

```
# Model 2 - Ajuste del ARIMA(1,1,0)
fit2 <- Arima((train),c(1,1,0),seasonal=c(0,1,1))
checkresiduals(fit2)
```

Residuals from ARIMA(1,1,0)(0,1,1)[12]



```
##
##  Ljung-Box test
##
## data:  Residuals from ARIMA(1,1,0)(0,1,1)[12]
## Q* = 34.015, df = 15, p-value = 0.003389
##
## Model df: 2.   Total lags used: 17
```

```
# 5.5)
knitr::kable(accuracy(fit), digits =4,caption = "Medidas de ajuste")
```

Medidas de ajuste

	ME	RMSE	MAE	MPE	MAPE	MASE	ACF1
Training set	3.4371	13.41	9.0729	1.4172	24.1369	0.7786	-0.0302

Puesto que el contraste de Ljung-Box nos da un p-valor >0.05 en el Modelo 1, aceptamos la hipótesis de que los residuos están incorrelados, lo que también podemos ver en su autocorrelograma.

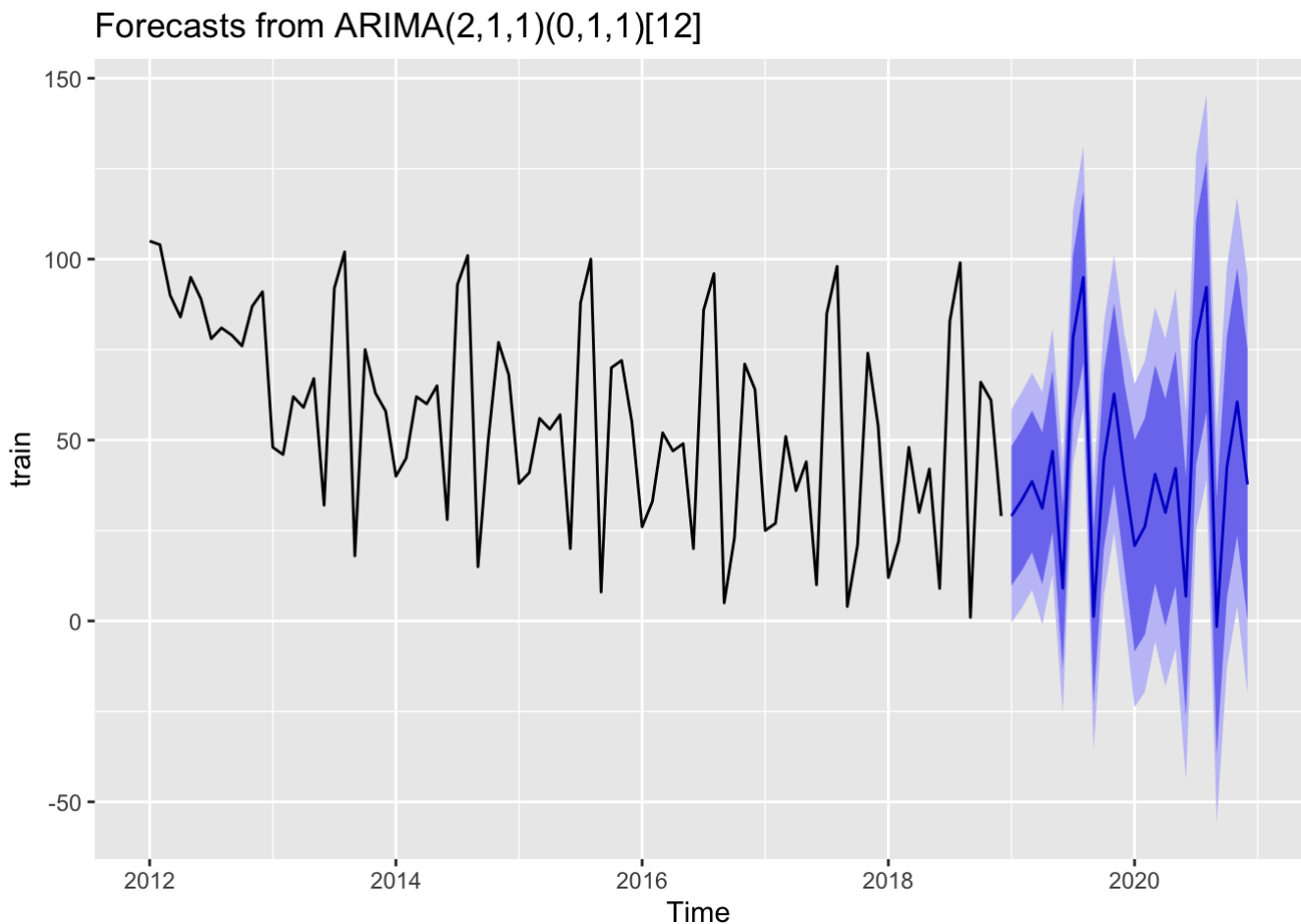
Por otro lado, el modelo 2 (fit2) da una autocorrelación, ya que que el pvalor es mucho menor de 0.05 rechazamos que los residuos están incorrelados, lo que implica que el modelo no explica toda la dependencia de la serie. Rechazamos el modelo 2.

Finalmente, los residuos son independientes y que el modelo 1 (fit) y el modelo 1 (fit1) log respetan la hipótesis. Elegimos el modelo 1, lo confirma la autocorrelation test box pierce, ya que el valor p es mayor que 0.05 (0.9361).

En conclusión, el modelo 1 (fit) puede valer.

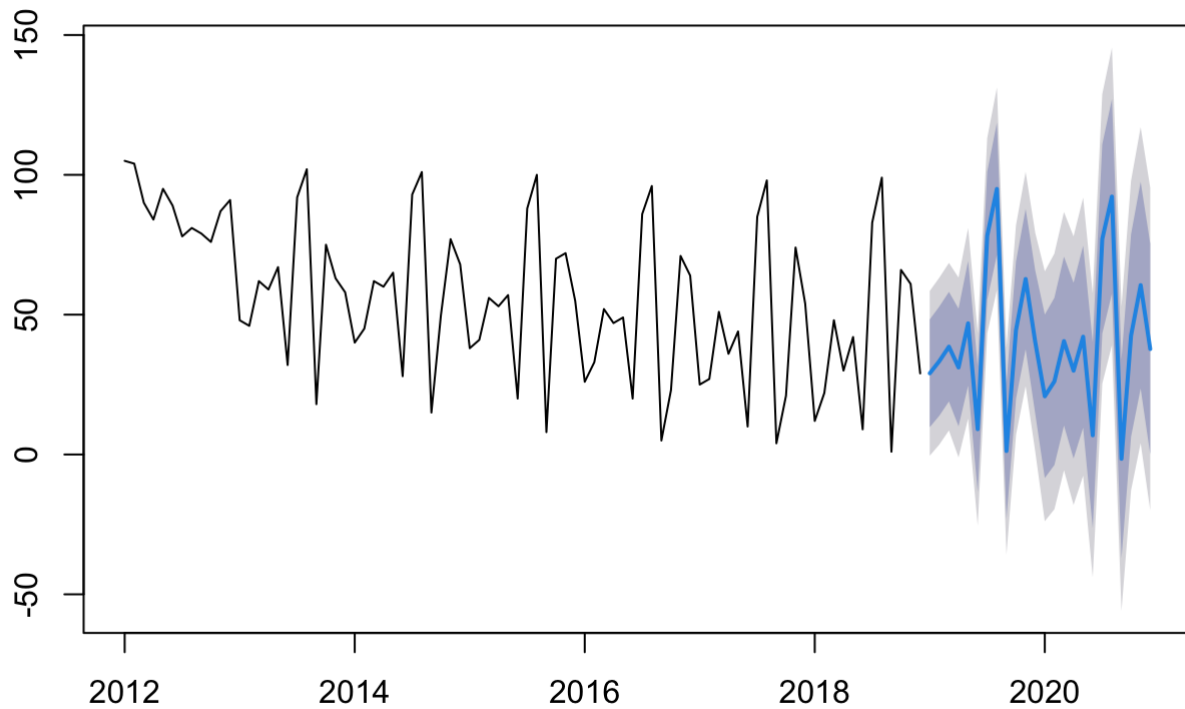
6. Calcular las predicciones y los intervalos de confianza para las unidades de tiempo que se considere oportuno, dependiendo de la serie, siguientes al último valor observado. Representarlas gráficamente.

```
# 6.1)
autoplot(forecast(fit,h=24))
```



```
# 6.2)
metropred=forecast(fit,h = 24)
plot(metropred)
```

Forecasts from ARIMA(2,1,1)(0,1,1)[12]



```
# 6.3)
predi<-forecast(fit,h=24)
knitr::kable(predi, digits =4,caption = "Predicciones ")
```

Predicciones

	Point Forecast	Lo 80	Hi 80	Lo 95	Hi 95
Jan 2019	29.0287	9.7846	48.2727	-0.4026	58.4599
Feb 2019	33.4013	13.9024	52.9002	3.5803	63.2224
Mar 2019	38.5563	18.9876	58.1249	8.6286	68.4839
Apr 2019	31.1173	10.1204	52.1141	-0.9946	63.2292
May 2019	46.8904	24.6622	69.1186	12.8953	80.8855
Jun 2019	9.0586	-13.3517	31.4688	-25.2149	43.3321
Jul 2019	78.2960	55.4801	101.1119	43.4020	113.1899
Aug 2019	94.9499	71.3460	118.5538	58.8508	131.0490
Sep 2019	1.2479	-22.8470	25.3428	-35.6020	38.0978
Oct 2019	44.5642	20.0847	69.0437	7.1260	82.0024
Nov 2019	62.7471	37.7496	87.7447	24.5167	100.9776
Dec 2019	40.2380	14.7249	65.7511	1.2191	79.2569
Jan 2020	20.8084	-8.3835	50.0003	-23.8368	65.4536

	Point Forecast	Lo 80	Hi 80	Lo 95	Hi 95
Feb 2020	26.1285	-3.7484	56.0054	-19.5643	71.8213
Mar 2020	40.5397	10.3742	70.7053	-5.5945	86.6740
Apr 2020	29.9752	-1.3996	61.3500	-18.0084	77.9588
May 2020	42.1142	9.6295	74.5990	-7.5669	91.7954
Jun 2020	6.8579	-26.2308	39.9467	-43.7470	57.4629
Jul 2020	77.1344	43.3120	110.9567	25.4076	128.8612
Aug 2020	92.2283	57.5087	126.9478	39.1293	145.3273
Sep 2020	-1.5340	-37.0030	33.9351	-55.7792	52.7113
Oct 2020	42.5636	6.4079	78.7193	-12.7317	97.8590
Nov 2020	60.5514	23.6523	97.4506	4.1190	116.9838
Dec 2020	37.7158	0.0849	75.3467	-19.8357	95.2673

```
# 6.4)
predi3<-forecast(fit,h=24)
cbind("prediccion" =exp(predi3$mean),"L80" = exp(predi3$lower),"U80" = exp(predi3$upper)) %>%knitr::kable(caption = "Predicciones ")
```

Predicciones

prediccion	L80.80%	L80.95%	U80.80%	U80.95%
4.045688e+12	1.775867e+04	6.686117e-01	9.216673e+20	2.447996e+25
3.206321e+14	1.090757e+06	3.588325e+01	9.425105e+22	2.864985e+27
5.556074e+16	1.762834e+08	5.589172e+03	1.751155e+25	5.523171e+29
3.266376e+13	2.484549e+04	3.698593e-01	4.294226e+22	2.884668e+27
2.313390e+20	5.136423e+10	3.984373e+05	1.041926e+30	1.343191e+35
8.591820e+03	1.590164e-06	1.120190e-11	4.642251e+13	6.589899e+18
1.008110e+34	1.243598e+24	7.067457e+18	8.172139e+43	1.437979e+49
1.722712e+41	9.664057e+30	3.618925e+25	3.070903e+51	8.200607e+56
3.483013e+00	1.195891e-10	3.453385e-16	1.014422e+11	3.512896e+16
2.259343e+19	5.280310e+08	1.243876e+03	9.667291e+29	4.103808e+35
1.781298e+27	2.479922e+16	4.440796e+10	1.279484e+38	7.145163e+43
2.986314e+17	2.482768e+06	3.384020e+00	3.591986e+28	2.635347e+34
1.088858e+09	2.286050e-04	4.444456e-11	5.186290e+21	2.667620e+28
2.225656e+11	2.355497e-02	3.186645e-09	2.102972e+24	1.554470e+31
4.038144e+17	3.202127e+04	3.718125e-03	5.092430e+30	4.385708e+37

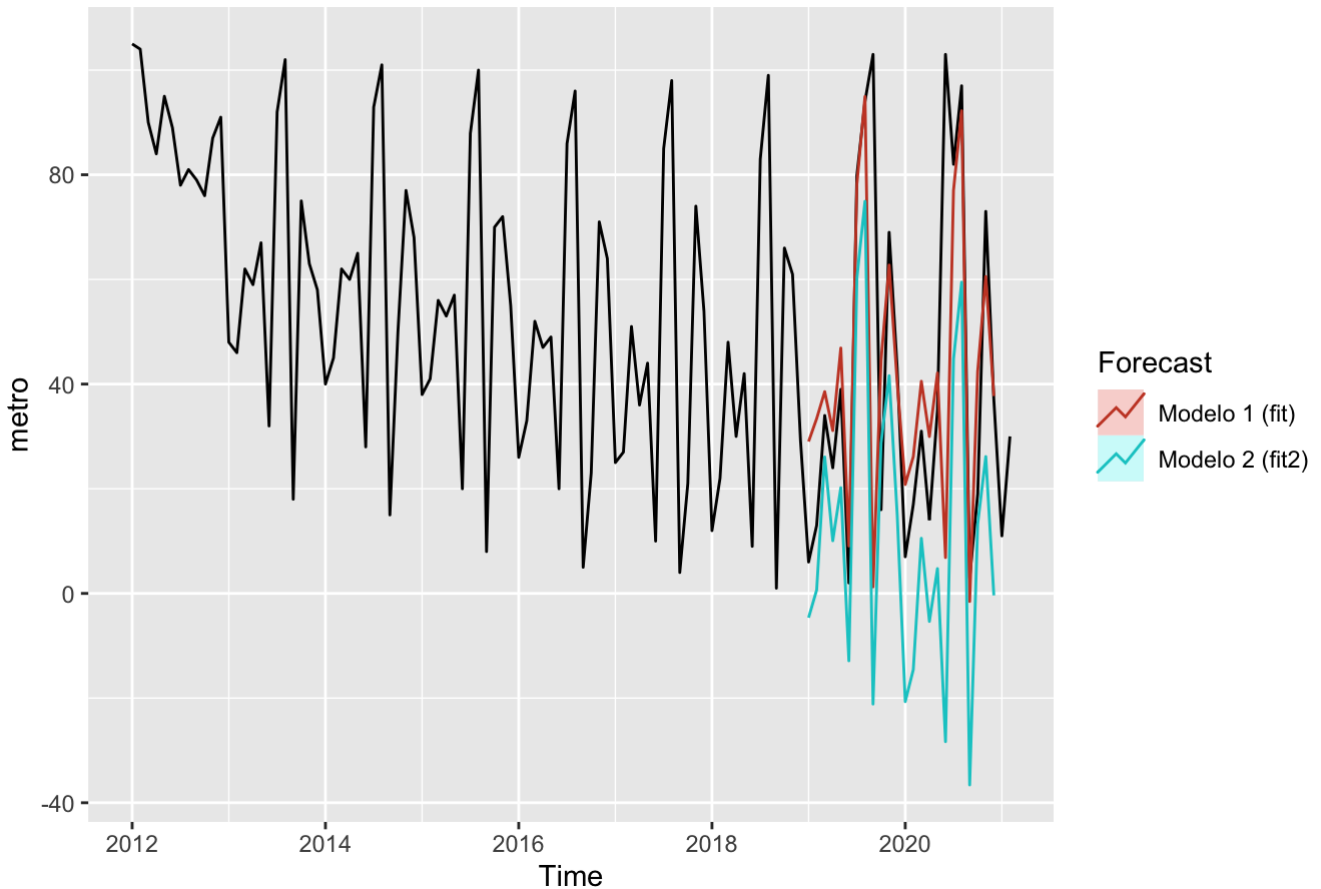
prediccion	L80.80%	L80.95%	U80.80%	U80.95%
1.042462e+13	2.466998e-01	1.510281e-08	4.405059e+26	7.195532e+33
1.949758e+18	1.520634e+04	5.172777e-04	2.499981e+32	7.349156e+39
9.514136e+02	4.056019e-12	1.002164e-19	2.231715e+17	9.032331e+24
3.155259e+33	6.459232e+18	1.082359e+11	1.541307e+48	9.198114e+55
1.133001e+40	9.456210e+24	9.854494e+16	1.357512e+55	1.302646e+63
2.156816e-01	8.507624e-17	5.962395e-25	5.467865e+14	7.801989e+22
3.055903e+18	6.066310e+02	2.955793e-06	1.539411e+34	3.159403e+42
1.982168e+26	1.870865e+10	6.149897e+01	2.100093e+42	6.388707e+50
2.397476e+16	1.088582e+00	2.429160e-09	5.280164e+32	2.366205e+41

Calculando las predicciones y los intervalos de confianza para las unidades de tiempo, podemos concluir que la diferencia entre los valores de pronóstico dados por este modelo y la observación que tuvimos son aceptables.

7. Comparar las predicciones obtenidas con cada uno de los métodos con los valores observados que habíamos reservado antes. Conclusiones.

```
# 7.1)
autoplot(metro) + autolayer(forecast(fit ,h=24), series="Modelo 1 (fit)", PI=FALSE) +
autolayer(forecast(fit2 ,h=24), series="Modelo 2 (fit2)", PI=FALSE) + ggtitle("Predic
iones para diferentes modelos ") + guides(colour=guide_legend(title="Forecast"))
```


Predicciones para diferentes modelos



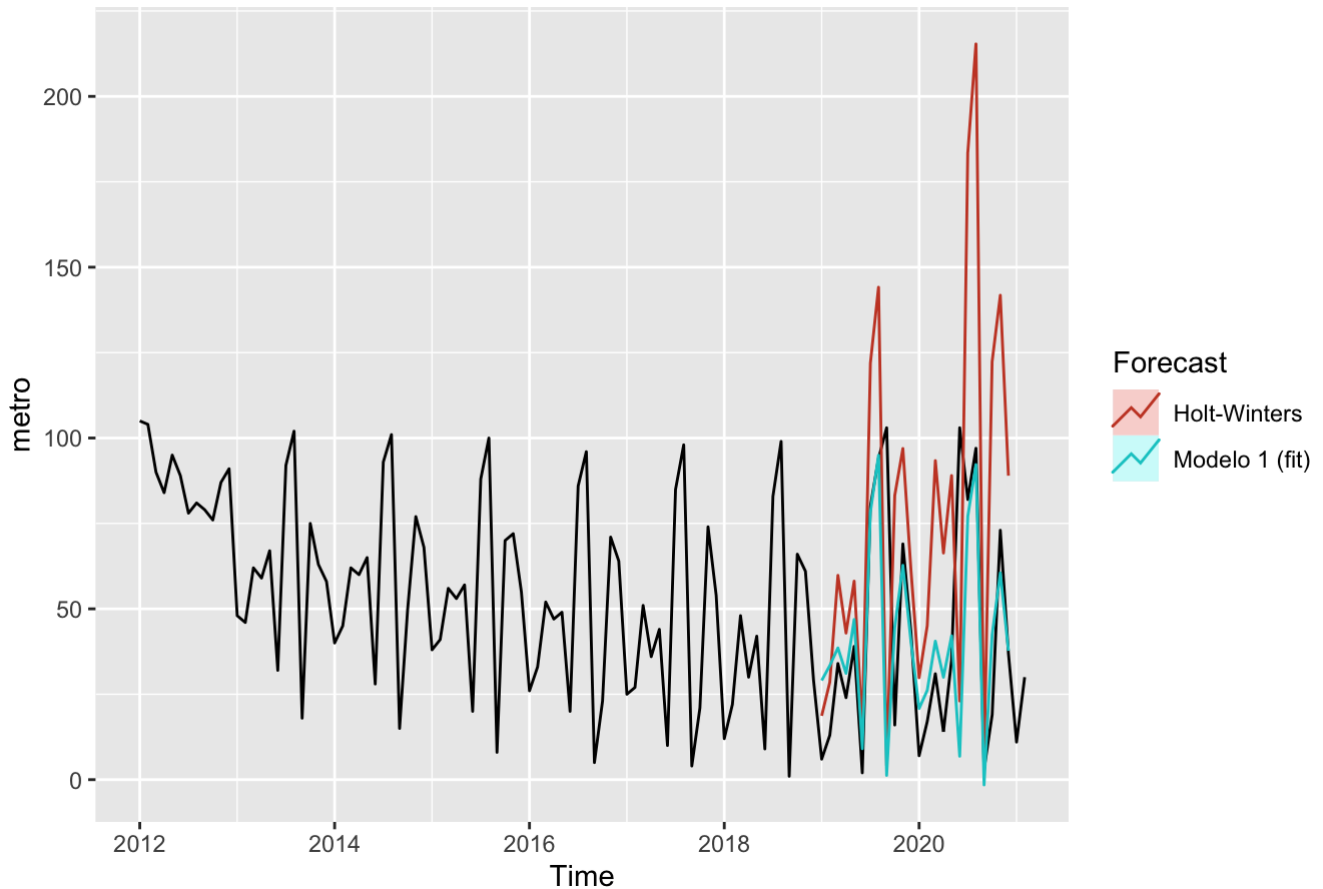
Acabamos de comparar las predicciones obtenidas con cada uno de los métodos, con los valores observados que habíamos reservado antes.

Observamos en esta comparación que el Modelo 1 es el mejor modelo.

A continuación, vamos a comparar el modelo Holt-Winters con el Modelo 1 (fit):

```
# 7.2)
autoplot(metro) + autolayer(forecast(metro_shw ,h=24), series="Holt-Winters", PI=FALSE) + autolayer(forecast(fit ,h=24), series="Modelo 1 (fit)", PI=FALSE) + ggtitle("Predicciones para diferentes modelos ") + guides(colour=guide_legend(title="Forecast"))
```

Predicciones para diferentes modelos



Según la representación gráfica, observamos de nuevo que el modelo de Arima - Modelo 1 - está más adaptado a los valores de observación de nuestra serie, ya que el Modelo 1 se ajusta mejor que el gráfico de Holt-winters de la serie, sobre todo antes de 2020.

Para terminar, vemos que hay una diferencia importante entre la predicción de ambos modelos en 2020 y los valores observados debido a la pandemia y al número de usuarios de metro en Sevilla que disminuyó por consecuencia.